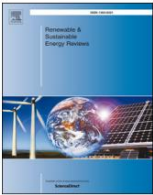




Danh sách nội dung có sẵn tại [ScienceDirect](#)

Đánh giá năng lượng tái tạo và bền vững

trang chủ tạp chí: www.elsevier.com/locate/rser



Đánh giá các yếu tố môi trường làm giảm hiệu suất của các mô-đun quang điện dựa trên wafer silicon: Phương pháp phát hiện lỗi và các kỹ thuật giảm thiểu cần thiết



Manju Santhakumari , Netramani Sagar

CSIR-Viện nghiên cứu địa vật lý quốc gia, Hyderabad, Telangana, Ấn Độ

THÔNG TIN BÀI VIẾT

Từ khóa:

Các yếu tố môi trường

Pin mặt trời

Công nghệ quang điện

Chế độ lỗi

Sự suy thoái

Giảm nhẹ

TÓM TẮT

Năng suất năng lượng từ nhà máy quang điện mặt trời chủ yếu phụ thuộc vào thông lượng mặt trời có sẵn, chất lượng của thiết bị điều hòa điện liên quan được tích hợp trong hệ thống, thông số kỹ thuật của tấm pin, vị trí địa lý và các thông số môi trường. Nghiên cứu này cung cấp đánh giá toàn diện về tác động của các yếu tố môi trường lên các thành phần khác nhau của hệ thống quang điện. Nghiên cứu nhấn mạnh các yếu tố môi trường như bụi, nhiệt độ môi trường, tốc độ gió, độ ẩm, tuyết rơi, mưa đá và bão cát, làm giảm hiệu suất năng lượng của nhà máy điện mặt trời và các chế độ hỏng hóc khác nhau của tấm pin do các yếu tố này gây ra. Cuối cùng, trọng tâm là các phương pháp tìm ra các chế độ hỏng hóc khác nhau của tấm pin quang điện và các kỹ thuật giảm thiểu khác nhau để cải thiện năng suất năng lượng. Các kỹ thuật giảm thiểu này rất cần thiết để định vị các mảng quang điện ở vùng xa xôi, sa mạc, nhiều bụi và gần với tốc độ gió cao hơn. Đánh giá này cung cấp triển vọng cho các nhà phát triển thực hiện các biện pháp phòng ngừa trước khi xác định vị trí và thiết kế nhà máy điện mặt trời.

1. Giới thiệu

Ánh sáng mặt trời, nguồn năng lượng tự nhiên và chủ yếu, chiếu xuống bề mặt trái đất, đáp ứng nhu cầu năng lượng của hàng tỷ người. Mặc dù năng lượng mặt trời không liên tục, nhưng nó cung cấp độ tin cậy cao hơn, an ninh năng lượng, độc lập và gián tiếp giúp giảm sự nóng lên toàn cầu. Việc khai thác năng lượng mặt trời bằng các công nghệ luôn phát triển đã tồn tại từ thời cổ đại. Tuy nhiên, ứng dụng này gần đây đã được thúc đẩy trong các lĩnh vực sử dụng ẩm không gian, bơm nước, khử muối và phát điện bằng các mô-đun PV [1].

Pin quang điện (PV) là thiết bị chuyển đổi năng lượng quang hóa giúp chuyển đổi năng lượng ánh sáng thành điện thông qua hiện tượng quang điện. Số lượng các tế bào quang điện được kết nối nối tiếp tạo thành một mô-đun và nhiều các mô-đun được kết nối theo chuỗi và song song tạo thành một mảng [2]. Hiệu suất của một tế bào quang điện là tỷ lệ giữa công suất đầu ra được cung cấp với lượng năng lượng mặt trời chiếu vào bề mặt. Theo đó, hiệu suất của hệ thống PV phụ thuộc vào công suất đầu ra từ mô-đun, liên quan đến đặc điểm của tế bào và cũng phụ thuộc vào điều kiện xung quanh

[3]. Hệ thống PV chủ yếu bao gồm các tế bào quang điện, pin, bộ biến tần, bộ điều khiển, v.v. Các vật liệu khác nhau có hiệu suất và chi phí khác nhau được sử dụng để chế tạo các tấm PV, sản xuất điện với sự trợ giúp của các thành phần phụ trợ khi ánh sáng Mặt trời chiếu vào các tế bào này.

bề mặt. Hiệu suất của các công nghệ PV phụ thuộc vào nhiều yếu tố khí hậu như bức xạ mặt trời tích lũy, nhiệt độ tế bào, nhiệt độ hoạt động, tốc độ gió, bóng râm tự nhiên hoặc nhân tạo trên tấm pin, mưa đá, sét, tuyết, băng, khối không khí, mây, bụi bẩn trên bề mặt PV, vĩ độ lắp đặt, sự xuống cấp của mô-đun, v.v. Năng suất của các tấm pin PV tích hợp vào hệ thống ảnh hưởng đáng kể đến hiệu quả của toàn bộ thiết bị và do đó ảnh hưởng đến tốc độ sản xuất điện [4]. Hiệu suất của tấm pin mặt trời phụ thuộc vào nhiều yếu tố, chẳng hạn như kích thước của mảng PV được sử dụng, loại mô-đun, hướng từ chính nam, bước của tấm pin mặt trời, góc từ phương ngang, độ dày cáp, bộ điều khiển sạc, biến tần và hiệu suất của pin.

Mục đích của bài báo là cung cấp một bản tóm tắt ngắn gọn về các yếu tố môi trường như bụi, nhiệt độ môi trường, tốc độ gió, độ ẩm, tuyết rơi, mưa đá và bão cát ảnh hưởng xấu đến sản lượng năng lượng của các hệ thống PV. Bài báo này xem xét các thành phần khác nhau của hệ thống PV và ảnh hưởng của các yếu tố môi trường đến các thành phần này. Bài báo này làm nổi bật tác động của các điều kiện khí hậu và môi trường đến hiệu suất PV và tóm tắt các lỗi mô-đun khác nhau. Nghiên cứu tập trung vào các phương pháp khác nhau để phân tích cơ chế suy thoái của các mô-đun PV. Bài đánh giá cũng đề cập đến các kỹ thuật có thể giúp khách hàng hoặc nhà đầu tư thực hiện các phương pháp phòng ngừa để nâng cao hiệu suất của PV mặt trời

Tác giả liên hệ.
Địa chỉ email: smanju@ngri.res.in (M. Santhakumari).

<https://doi.org/10.1016/j.rser.2019.04.024> Nhận

ngày 6 tháng 6 năm 2018; Nhận dự định đã sửa đổi ngày 25 tháng 2 năm 2019; Chấp nhận ngày 8 tháng 4 năm 2019

1364-0321/ © 2019 Elsevier Ltd. Bảo lưu mọi quyền.

nhiều thành phần PV khác nhau.

2.1. Mô-đun PV

Tuổi thọ của mô-đun PV phụ thuộc vào độ tin cậy (dễ hỏng sớm) và độ bền (tốc độ suy thoái chậm), mà lần lượt phụ thuộc vào các chế độ suy thoái. Việc tiếp xúc ngoài trời gây ra ứng suất môi trường nghiêm trọng cho các mô-đun PV và do đó, công suất đầu ra bị cản trở. Các yếu tố môi trường ảnh hưởng rộng rãi đến độ ổn định của mô-đun và việc dự đoán sự suy thoái rất phức tạp vì nhiều ứng suất khác nhau sẽ được kích hoạt thông qua nhiều cơ chế khác nhau. Sự suy thoái của mô-đun PV chủ yếu bị ảnh hưởng bởi bốn yếu tố khí hậu, tức là nhiệt độ, bức xạ, độ ẩm và ứng suất cơ học, từ đó gây ra sự suy thoái như ăn mòn, đổi màu, tách lớp và vỡ [5]. Độ thấm của tấm nền của mô-đun PV tăng lên ở nhiệt độ và độ ẩm cao hơn, vì nhiệt độ của mô-đun luôn cao hơn nhiệt độ môi trường. Độ ẩm xâm nhập vào mô-đun làm suy giảm vật liệu bám dính giữa tế bào PV và kim loại tiếp xúc, gây ra sự ăn mòn và do đó dẫn đến rò rỉ dòng điện. Sự xâm nhập của độ ẩm do độ ẩm và nhiệt độ cao hơn sẽ ăn mòn bề mặt kim loại và làm tăng sự tách lớp giữa tế bào quang điện và vật liệu bao bọc. Tia UV làm suy giảm vật liệu đóng gói của mô-đun PV (EVA) gây ra hiện tượng đổi màu vàng hoặc nâu. Sự thay đổi màu sắc làm tăng tổn thất truyền quang và do đó làm giảm hiệu suất của mô-đun. Các yếu tố khí hậu khác như tuyết và gió tạo ra tải trọng cơ học lên mô-đun PV. Mưa đá gây hư hỏng cho các mô-đun kính và bão cát gây mài mòn bề mặt mô-đun [6].

2.2. Cấu trúc kim loại

Khung mô-đun PV là cấu trúc kim loại để bị sét đánh và phải được nối đất đúng cách để giảm thiểu thiệt hại cho hệ thống PV. Cấu trúc nhôm hoặc thép mạ kẽm có khả năng chống chịu gió và các điều kiện khí hậu khác. Việc thiết kế và lắp đặt các cấu trúc kim loại này phải được thực hiện thận trọng để đáp ứng các yêu cầu về tốc độ gió của địa điểm; nếu không, các tấm pin sẽ bị nhấc khỏi cấu trúc.

2.3. Dây hệ thống PV

Dây PV là dây điện một dây dẫn để kết nối các tấm pin PV với các thành phần điện khác trong hệ thống PV. Việc lựa chọn dây phù hợp và bảo dưỡng định kỳ ảnh hưởng tích cực đến hiệu suất PV. Việc sử dụng cáp kém chất lượng không phù hợp với điều kiện môi trường làm tăng khả năng hỏng hóc của PV

hệ thống. Dây PV phải mềm dẻo, chống thấm nước, chống tia cực tím và chịu được sự thay đổi nhiệt độ do tiếp xúc ngoài trời.

Dây điện hỗ chịu các yếu tố lão hóa do các thành phần hóa học, bức xạ mặt trời, sự phát triển của vi khuẩn và nhiệt độ. Dây điện hoặc cáp điện trong môi trường ngoài trời phải được bảo vệ bằng ống dẫn kim loại mềm để tránh ánh nắng mặt trời và mưa. Cáp cố định trong ống dẫn ngầm phải được bọc kín ở cả hai đầu. Nếu không, chúng sẽ bị bào hòa với nước dẫn đến hỏng điện trở cách điện. Ngâm trong nước lâu hơn sẽ dẫn đến rò rỉ dòng điện và đoản mạch. Mặc dù nhà sản xuất cung cấp xếp hạng như khả năng chống tia cực tím và chịu được nhiệt độ, cáp vẫn bị lão hóa (vỏ ngoài của cáp trở nên giòn và ảnh hưởng đến độ ổn định của tia cực tím) theo thời gian do tiếp xúc liên tục với bức xạ cao. Cáp tiếp xúc với lớp phủ tuyết cũng dễ bị hư hỏng. Sự hiện diện của hóa chất trong đất làm tăng ứng suất hóa học trên cáp PV thông qua các vết nứt phát triển trên đó. Độ ẩm trong khí quyển gây ra đoản mạch và ăn mòn các dây dẫn bằng đồng. Việc lựa chọn cáp bền đáp ứng các chứng chỉ và lắp đặt đúng cách sẽ khắc phục được sự cố hỏng PV ở một mức độ nào đó.

2.4. Pin

Việc lắp pin vào hệ thống quang điện để lưu trữ năng lượng là giải pháp thông minh giúp khắc phục tính không liên tục của năng lượng mặt trời. Tuổi thọ của pin chủ yếu phụ thuộc vào các thành phần, phương pháp sạc, nhiệt độ, tần suất xả và thiết kế của hệ thống PV. Mặc dù có công nghệ tiên tiến, một hệ thống lưu trữ pin mạnh mẽ, có thể chịu được nhiệt độ cực cao và khí hậu lạnh giá vẫn còn là vấn đề gây tranh cãi. Nhiệt độ hoạt động là một thông số quan trọng cần được xem xét khi định cỡ ngân hàng pin. Pin sử dụng phản ứng điện hóa học và ở nhiệt độ cao, phản ứng hóa học tăng cường khiến tuổi thọ pin giảm sút. Nhưng ở nhiệt độ cao hơn, dung lượng và hiệu suất của pin tăng lên.

Tuy nhiên, vận hành pin ở nhiệt độ thấp hơn làm giảm tốc độ phản ứng, hiệu suất và dung lượng, nhưng tuổi thọ của pin tăng lên. Do đó, việc lựa chọn nhiệt độ vận hành là điều tất yếu để hệ thống PV hoạt động bình thường. Một giải pháp khả thi để duy trì nhiệt độ pin là làm mát thụ động (quạt cách nhiệt hoặc hệ thống tuần hoàn nước) và hệ thống làm mát chủ động (điều hòa không khí) giúp cải thiện tuổi thọ của pin. Tuy nhiên, hệ số hoàn trả năng lượng cho pin tăng lên theo quá trình làm mát hàng ngày của phòng pin [7]. Pin bị mất đáng kể trong điều kiện khí hậu lạnh do lớp mạ bị thoái hóa, dung lượng năng lượng và công suất thấp hơn. Ở nhiệt độ thấp hơn, pin phải đối mặt với tình trạng phản ứng hóa học chậm lại khiến độ dẫn điện của chất điện phân thấp hơn. Các quá trình này làm giảm năng lượng và công suất của cell, do đó khiến pin bị hỏng hiệu suất trong điều kiện khí hậu lạnh. Quản lý nhiệt của pin là một lựa chọn khả thi để tăng tuổi thọ của pin ở các quốc gia lạnh [8]. Sơ Ơ ẮM CHỦ ĐỘNG HOẶC THỤ ĐỘNG DỰA TRÊN VẬT LIỆU KHÔNG KHÍ, CHẤT LỎNG VÀ THAY ĐỔI PHA LÀM ẮM PIN HIỆU QUẢ ĐẾN NHIỆT ĐỘ MÔI TRƯỜNG TRƯỚC KHÍ ĐỘNG.

2.5. Biến tần

Bộ não của hệ thống PV, các bộ biến tần chuyển đổi đầu ra dòng điện một chiều từ các mô-đun PV thành dòng điện xoay chiều. Môi trường hoạt động (trong nhà hoặc ngoài trời), các điều kiện lắp đặt như nhiệt độ môi trường, yêu cầu chống nước hoặc chống bụi, mức độ tiếng ồn có thể nghe thấy của bộ biến tần và các quy định về chất lượng điện năng ảnh hưởng đến hiệu suất chuyển đổi của bộ biến tần. Ở những vị trí có nhiệt độ cao, việc lắp đặt bộ biến tần trong phòng tiện ích kín sẽ làm tăng nhiệt độ của phòng cũng như bộ biến tần, từ đó làm giảm tuổi thọ của bộ biến tần và làm giảm hiệu suất. Cần có thông gió và luồng không khí thích hợp để đáp ứng nhiệt độ hoạt động phù hợp do nhà sản xuất cung cấp.

Biến tần được đặt gần khu dân cư sẽ truyền nhiệt đến nơi xung quanh. Tuy nhiên, đối với khí hậu lạnh, điều này sẽ giúp duy trì nhiệt độ phòng xung quanh. Thiết bị phải được lắp đặt ở những nơi ít được bảo vệ khỏi các điều kiện môi trường như độ ẩm, nhiệt độ, hơi nước và các hạt bụi để hoạt động bình thường và đáp ứng các thông số kỹ thuật do nhà sản xuất cung cấp. Việc đưa vào thiết bị chống sét lan truyền giúp bỏ qua điện áp cao do sét gây ra ở những khu vực không thể nối đất hoặc những nơi ít dễ bị sét đánh.

3. Các yếu tố và ảnh hưởng của điều kiện môi trường đến hiệu suất PV

Hiệu quả và độ tin cậy mà hệ thống điện mặt trời tạo ra phụ thuộc vào nhiều thông số thay đổi và bất biến. Hiệu quả của hệ thống PV được cải thiện bằng cách thay đổi một số biến số của người dùng, theo chỉ định của nhà sản xuất. Hai thành phần thiết yếu cung cấp năng suất tối ưu là tấm pin PV và lượng bức xạ mặt trời chiếu vào bề mặt PV. Các thông số biến đổi giúp cải thiện hiệu suất của mô-đun PV bao gồm vật liệu được triển khai để sản xuất tế bào PV và lớp phủ để bảo vệ khỏi các điều kiện môi trường. Các thành phần bất biến bao gồm

Bảng 1		Bảng 2	
STT	Mô tả	STT	Mô tả
1	Loại tấm pin	1	Loại tấm pin
2	Loại tấm pin	2	Loại tấm pin
3	Loại tấm pin	3	Loại tấm pin
4	Loại tấm pin	4	Loại tấm pin
5	Loại tấm pin	5	Loại tấm pin
6	Loại tấm pin	6	Loại tấm pin
7	Loại tấm pin	7	Loại tấm pin
8	Loại tấm pin	8	Loại tấm pin
9	Loại tấm pin	9	Loại tấm pin
10	Loại tấm pin	10	Loại tấm pin
11	Loại tấm pin	11	Loại tấm pin
12	Loại tấm pin	12	Loại tấm pin
13	Loại tấm pin	13	Loại tấm pin
14	Loại tấm pin	14	Loại tấm pin
15	Loại tấm pin	15	Loại tấm pin
16	Loại tấm pin	16	Loại tấm pin
17	Loại tấm pin	17	Loại tấm pin
18	Loại tấm pin	18	Loại tấm pin
19	Loại tấm pin	19	Loại tấm pin
20	Loại tấm pin	20	Loại tấm pin
21	Loại tấm pin	21	Loại tấm pin
22	Loại tấm pin	22	Loại tấm pin
23	Loại tấm pin	23	Loại tấm pin
24	Loại tấm pin	24	Loại tấm pin
25	Loại tấm pin	25	Loại tấm pin
26	Loại tấm pin	26	Loại tấm pin
27	Loại tấm pin	27	Loại tấm pin
28	Loại tấm pin	28	Loại tấm pin
29	Loại tấm pin	29	Loại tấm pin
30	Loại tấm pin	30	Loại tấm pin
31	Loại tấm pin	31	Loại tấm pin
32	Loại tấm pin	32	Loại tấm pin
33	Loại tấm pin	33	Loại tấm pin
34	Loại tấm pin	34	Loại tấm pin
35	Loại tấm pin	35	Loại tấm pin
36	Loại tấm pin	36	Loại tấm pin
37	Loại tấm pin	37	Loại tấm pin
38	Loại tấm pin	38	Loại tấm pin
39	Loại tấm pin	39	Loại tấm pin
40	Loại tấm pin	40	Loại tấm pin
41	Loại tấm pin	41	Loại tấm pin
42	Loại tấm pin	42	Loại tấm pin
43	Loại tấm pin	43	Loại tấm pin
44	Loại tấm pin	44	Loại tấm pin
45	Loại tấm pin	45	Loại tấm pin
46	Loại tấm pin	46	Loại tấm pin
47	Loại tấm pin	47	Loại tấm pin
48	Loại tấm pin	48	Loại tấm pin
49	Loại tấm pin	49	Loại tấm pin
50	Loại tấm pin	50	Loại tấm pin
51	Loại tấm pin	51	Loại tấm pin
52	Loại tấm pin	52	Loại tấm pin
53	Loại tấm pin	53	Loại tấm pin
54	Loại tấm pin	54	Loại tấm pin
55	Loại tấm pin	55	Loại tấm pin
56	Loại tấm pin	56	Loại tấm pin
57	Loại tấm pin	57	Loại tấm pin
58	Loại tấm pin	58	Loại tấm pin
59	Loại tấm pin	59	Loại tấm pin
60	Loại tấm pin	60	Loại tấm pin
61	Loại tấm pin	61	Loại tấm pin
62	Loại tấm pin	62	Loại tấm pin
63	Loại tấm pin	63	Loại tấm pin
64	Loại tấm pin	64	Loại tấm pin
65	Loại tấm pin	65	Loại tấm pin
66	Loại tấm pin	66	Loại tấm pin
67	Loại tấm pin	67	Loại tấm pin
68	Loại tấm pin	68	Loại tấm pin
69	Loại tấm pin	69	Loại tấm pin
70	Loại tấm pin	70	Loại tấm pin
71	Loại tấm pin	71	Loại tấm pin
72	Loại tấm pin	72	Loại tấm pin
73	Loại tấm pin	73	Loại tấm pin
74	Loại tấm pin	74	Loại tấm pin
75	Loại tấm pin	75	Loại tấm pin
76	Loại tấm pin	76	Loại tấm pin
77	Loại tấm pin	77	Loại tấm pin
78	Loại tấm pin	78	Loại tấm pin
79	Loại tấm pin	79	Loại tấm pin
80	Loại tấm pin	80	Loại tấm pin
81	Loại tấm pin	81	Loại tấm pin
82	Loại tấm pin	82	Loại tấm pin
83	Loại tấm pin	83	Loại tấm pin
84	Loại tấm pin	84	Loại tấm pin
85	Loại tấm pin	85	Loại tấm pin
86	Loại tấm pin	86	Loại tấm pin
87	Loại tấm pin	87	Loại tấm pin
88	Loại tấm pin	88	Loại tấm pin
89	Loại tấm pin	89	Loại tấm pin
90	Loại tấm pin	90	Loại tấm pin
91	Loại tấm pin	91	Loại tấm pin
92	Loại tấm pin	92	Loại tấm pin
93	Loại tấm pin	93	Loại tấm pin
94	Loại tấm pin	94	Loại tấm pin
95	Loại tấm pin	95	Loại tấm pin
96	Loại tấm pin	96	Loại tấm pin
97	Loại tấm pin	97	Loại tấm pin
98	Loại tấm pin	98	Loại tấm pin
99	Loại tấm pin	99	Loại tấm pin
100	Loại tấm pin	100	Loại tấm pin

hiệu suất của các cell được sử dụng, đặc điểm của lớp kính phủ trên tấm pin, tổn thất quang học và phản ứng của nhiệt độ liên quan đến điện áp đầu ra của hệ thống PV.

Ngoài ra, nhiều thông số môi trường và thiết kế của tấm pin cũng ảnh hưởng đến hiệu suất của tấm pin mặt trời và do đó cản trở hệ thống PV cung cấp năng lượng đầu ra đồng đều.

Các yếu tố sinh thái có thể điều chỉnh bao gồm vật liệu phản xạ năng lượng mặt trời (gương kính trắng bạc, gương phản xạ nhôm và gương mặt trời), giúp cải thiện khả năng hấp thụ năng lượng mặt trời mà không làm tăng khả năng tản nhiệt của bộ thu nhiệt PV; các chất gây ô nhiễm tại chỗ như ô nhiễm độc hại tiềm ẩn từ khí thải, carbon dioxide, ozone, hơi nước, khí dung; và lắp đặt tấm pin phù hợp để chịu được áp lực của bão.

Ngoài ra còn có các đặc điểm môi trường tự nhiên cụ thể ảnh hưởng đến bức xạ mặt trời và không thể thay đổi. Những đặc điểm này bao gồm cường độ bức xạ mặt trời, bụi, vận tốc gió, lượng mưa, độ ẩm và nhiệt độ khí quyển. Các yếu tố thiết kế linh hoạt ảnh hưởng đến sản lượng năng lượng từ tấm pin PV bao gồm việc kết hợp các bộ theo dõi năng lượng mặt trời và lắp đặt PV dựa trên góc nghiêng. Các khía cạnh ổn định ảnh hưởng đến thiết kế lắp đặt bao gồm vị trí lắp đặt tấm pin PV theo chiều dọc hoặc chiều ngang, hướng giữa hướng đông nam và tây nam, tọa độ địa lý chính xác và độ cao để lắp đặt mô-đun PV. Phần sau đây thảo luận về các thông số khí quyển khác nhau chịu trách nhiệm làm giảm sản lượng năng lượng tối đa từ mô-đun PV và tác động của nó đến hiệu suất của tấm pin.

3.1. Bụi

Bụi là thuật ngữ chung được áp dụng cho các hạt vật chất có đường kính thay đổi từ 0,10 µm đến 1000 µm. Lắng đọng bụi là một hiện tượng tự nhiên ảnh hưởng xấu đến sản lượng năng lượng từ các tấm pin mặt trời bằng cách hấp thụ hoặc phản xạ bức xạ mặt trời. Sự tích tụ bụi chủ yếu bao gồm sự phát triển của các loài hữu cơ như vi khuẩn và nấm, chim làm tổ, phân chim, ăn mòn do phân chim, ô nhiễm bởi các sản phẩm thực vật, quá trình phong hóa hóa học, cacbon trong công nghiệp, xi măng, đá vôi, các hạt trong không khí, sợi nhỏ từ thảm và vải. Các điều kiện giúp bụi bám vào tấm pin là vận tốc không khí, hướng gió, độ ẩm, lượng mưa, tần suất của các cơn bão bụi, nhiệt độ môi trường, bề mặt hoàn thiện, góc nghiêng, loại đất và thảm thực vật xung quanh [9].

Các đặc tính của bụi liên quan đến các đặc tính hóa học, tính điện, sinh học và vật lý của nó. Sự lắng đọng hoặc tích tụ bụi trên tấm pin mặt trời phụ thuộc vào các đặc tính vật lý của nó như hình dạng, kích thước, trọng lượng và điều kiện môi trường. Các hạt bụi nhỏ lắng đọng nhanh hơn các hạt thô hơn [10] và do lực Coulomb, các hạt tích điện có xu hướng tập hợp nhiều hơn các hạt trung tính [11].

Dựa trên các điều kiện môi trường, thành phần hóa học cũng như khoáng chất của bụi thay đổi tùy theo từng địa điểm [12]. Cường độ bám dính [13] giữa bề mặt tấm PV và các hạt bụi phụ thuộc vào lượng bụi bị gió cuốn đi và hiệu ứng này tỷ lệ nghịch với đường kính hạt bụi. Môi trường cũng như điều kiện thời tiết cũng ảnh hưởng đến quá trình lắng bụi và đặc điểm lắng đọng. Bụi tích tụ trên bề mặt PV dưới dạng cặn ẩm, cặn khô và cặn ướt. Cặn ẩm xuất hiện khi hơi ẩm trong sương mù, sương mù hoặc mây, độ ẩm tương đối cao [13] và sương [14] lắng xuống bề mặt tấm PV. Điều kiện khô khiến gió cuốn trôi các hạt bụi và lực hút Coulomb thu thập nhiều bụi hơn, trong khi lực đẩy làm lơ lửng các hạt trong không khí do gió thổi. Tốc độ gió ảnh hưởng đến quá trình lắng đọng bụi trên bề mặt PV theo hướng tích cực và tiêu cực dựa trên tốc độ gió, hướng gió, nguồn bụi và lắp đặt PV [15].

Giống như gió, lượng mưa cũng giúp cải thiện (làm sạch bề mặt PV) và làm giảm (các chất ô nhiễm không khí bị giữ lại do lượng mưa trên bề mặt PV) hiệu quả của tấm pin PV cùng một lúc. Nhiệt độ môi trường cao hơn làm tăng độ ẩm, giúp các hạt bụi bám vào bề mặt PV [15]. Lượng bụi lắng đọng trên bề mặt mô-đun giảm khi các tấm pin PV được lắp đặt ở khoảng cách lớn hơn

góc nghiêng do tác động của trọng lực [10]. Vị trí lắp đặt PV cũng ảnh hưởng đến sự tích tụ bụi vì tỷ lệ lắng đọng cao hơn gần đến các ngành công nghiệp, vùng núi lửa và các khu vực dễ xảy ra bão cát [16].

Nơi i bụi rơi i trên bề mặt của tấm pin PV, năng suất tối đa từ các mô-đun PV được phân loại thành có thể thay đổi hoặc không thể thay đổi các yếu tố [9]. Bụi ảnh hưởng đến hiệu quả năng lượng của hệ thống PV theo những cách khác nhau. Bảng 1 [17-22] cho thấy một số công trình đã công bố về tác động của việc bám bẩn lên hiệu suất PV. Bụi làm giảm lượng ánh sáng mặt trời chiếu vào bề mặt tấm pin bằng cách phân tán ánh sáng mặt trời chiếu tới bức xạ vì kích thước của các hạt bụi lớn hơn n bước sóng của bức xạ phát ra từ Mặt trời. Các nhà nghiên cứu [23] đã nhận thấy hiệu suất PV giảm 60% do sự hiện diện của bụi và không khí chất gây ô nhiễm trong khí quyển. Lớp bụi dày trên mô-đun bề mặt làm thay đổi các đặc tính quang học của tấm pin bằng cách tăng khả năng phản xạ ánh sáng, giảm khả năng truyền qua và do đó làm giảm PV đầu ra của tấm pin. Việc giảm độ truyền dẫn dẫn đến hiện tượng che bóng hạt do bụi tích tụ trên bề mặt tấm dựa trên kích thước bụi và mật độ. Sự che bóng một phần này gây ra sự thay đổi trong các đặc điểm điện của mảng PV dẫn đến mất điện do phân cực ngược tế bào và sự giảm tiếp theo trong hệ số lấp đầy [24]. Bụi lắng đọng cũng gây ra sự khác biệt về nhiệt độ giữa tấm được làm sạch và tấm phủ bụi, do đó dẫn đến sự thay đổi nhỏ trong ngắn mạch dòng điện và giảm đáng kể điện áp mạch hở. Một thí nghiệm được tiến hành trên các tế bào quang điện Si đa tinh thể cho thấy bụi lắng đọng trên bề mặt tấm kính làm giảm khả năng truyền sáng của tấm kính, và nhiệt độ của mô-đun, làm giảm mô-đun PV công suất đầu ra [19]. Bụi tích tụ trên tấm pin quang điện gây ra sự suy giảm quang phổ mặt trời đến bề mặt mô-đun. Sự giảm này dẫn đến sự suy giảm toàn bộ phạm vi mặt trời từ tia cực tím có thể nhìn thấy được do sự hấp thụ, phản xạ và tán xạ ánh sáng bởi bụi tích tụ [25].

3.2. Nhiệt độ

Trong hệ thống PV, nhiệt độ môi trường đóng vai trò quan trọng trong việc tạo ra công suất đầu ra và hiệu suất của mô-đun PV, vì nó phụ thuộc tuyến tính vào nhiệt độ hoạt động. Dựa trên loại ô được sử dụng trong mô-đun năng lượng mặt trời, tấm pin quang điện chuyển đổi gần 6-20% lượng bức xạ chiếu vào bề mặt của nó. Nhiệt độ môi trường tăng làm tăng nhiệt độ của tấm pin quang điện do đó làm giảm hiệu suất của mô-đun. Các thông số khí hậu như khí quyển nhiệt độ, tốc độ gió, hướng gió và các kiểu mây mạnh mẽ ảnh hưởng đến nhiệt độ của tấm pin, như ng tốc độ mà

sự thay đổi nhiệt độ phụ thuộc vào loại vật liệu PV được sử dụng và cách lắp đặt tấm pin PV. Khi nhiệt độ của tấm pin tăng lên, điện áp đầu ra của mô-đun sẽ giảm và tăng dòng điện một lượng nhỏ, làm giảm công suất đầu ra của toàn bộ hệ thống PV. Bảng 2 [26-30] nêu bật một số tài liệu đã xuất bản về ảnh hưởng của nhiệt độ môi trường xung quanh đến hiệu suất PV. Tác động của nhiệt độ lên ô/mô-đun PV liên quan đến phươg trình cơ bản như

$$P_m \propto V_{oc} - V_{FF} - V_{oc} I_{sc} \quad (1)$$

Khi nhiệt độ tăng, cả Voc và FF đều giảm tăng nhẹ Isc dẫn đến mối quan hệ tuyến tính đối với điện của tế bào hiệu quả được đưa ra bởi Ref. [31],

$$I_{sc} = I_{sc,ref} [1 + \eta \beta (T - T_{ref})] \quad (2)$$

Một biểu thức tuyến tính truyền thống cho hiệu suất mô-đun sau việc coi giá trị y bằng không được đưa ra bởi Tài liệu tham khảo [32],

$$\eta_{eff} = \eta_{ref} [1 - \beta (T - T_{ref})] \quad (3)$$

η_{ref} và β_{ref} là các giá trị do nhà sản xuất chỉ định mà sau này được sử dụng tiếp phụ thuộc vào vật liệu PV và T_{ref} được đưa ra bởi, $\beta = \frac{1}{T_{ref}}$ xúc của các tấm pin mặt trời trong khu vực miền bắc và từ gia tăng mô-đun

nhiệt độ và cần phải tìm nhiệt độ hoạt động dự kiến của mô-đun PV để tính ra công suất đầu ra của hệ thống năng lượng mặt trời cell. NOCT là nhiệt độ đạt được bởi mô-đun PV với kết nối không tải và hoạt động trong NTE được liệt kê dưới đây [33]:

- Thông lượng mặt trời trên bề mặt tế bào: 800 W/m²,
- Nhiệt độ không khí: 293,16 K (20 °C),
- Tốc độ gió trung bình: 1 m/s,
- Lắp đặt: Mở mặt sau và nghiêng về phía có ánh nắng mặt trời vào buổi trưa.

Biểu thức gần đúng để tìm ra nhiệt độ hoạt động của mô-đun PV đối với độ rọi, GT (W/m²) được đưa ra bởi,

$$T_{cell} = T_{amb} + \frac{G_T M}{800} \times G_T \quad (4)$$

Nhiệt độ hoạt động có tác động rất lớn đến hiệu suất và hiệu quả của pin mặt trời. Nhiệt độ của pin tăng sẽ làm giảm hiệu suất của tấm pin và do đó làm giảm hiệu quả của mô-đun. Phần giảm thiểu thảo luận về các kỹ thuật khác nhau để cải thiện hiệu quả bằng cách giảm nhiệt độ hoạt động.

Bảng 2			
Tác động của nhiệt độ đến hiệu suất PV			
Tham khảo nghiên cứu	Hiệu ứng nhiệt độ	Vị trí	Loại tế bào
Rahman và cộng sự [26]	Cứ mỗi 100 W/m2 tăng bức xạ, nhiệt độ của tế bào quang điện được cải thiện lên 4,93 °C và 2,64 °C tương ứng với và không có làm mát. Đối với chiếu xạ 1000 W/m2 và 80 L/h hệ thống làm mát bằng nước, nhiệt độ của tế bào năng lượng mặt trời giảm xuống còn 22,4 °C, công suất đầu ra và hiệu suất được cải thiện lần lượt là 8,04 W và 1,23%.	UM, Malaysia.	Đơn tinh thể
Touati et al. [27]	Đối với PV đơn tinh thể, trong ngày (8:30 sáng đến 15:45 chiều), sự thay đổi trong nhiệt độ (41,9, 48, 49,9 và 40,4 °C) làm tăng hiệu suất PV (0,71, 0,76, 0,78 và 0,8). Đối với PV vô định hình, trong ngày (8:30 sáng đến 15:45 chiều), sự thay đổi trong nhiệt độ (42,9, 48,4, 45,4 và 40,9 °C) làm tăng hiệu suất PV (0,385, 0,383, 0,358 và 0,616).	Doha, Qatar.	Đơn tinh thể và vô định hình
Rahman và cộng sự [28]	Hiệu suất điện giảm 0,22% khi nhiệt độ của tế bào quang điện tăng 1 °C. Tương tự như vậy, nhiệt độ của tế bào năng lượng mặt trời và công suất đầu ra tăng 3,82 °C và 3,14 W, bức xạ mặt trời tăng lên 100 W/m2. Kết hợp hệ thống làm mát bằng nước tăng hiệu suất lên 15,72%.	UM, Malaysia.	Đơn tinh thể
Gaglia et al. [29]	Điện áp PV giảm giữa 91 và 97 mV/°C đối với mức độ chiếu xạ 400 và 1000 W/m2 cao hơn các điều kiện tiêu chuẩn của phòng thí nghiệm (73 mV/°C). Tức thời hiệu suất giảm từ 10% xuống 7% khi điện áp giảm 5 V.	Athens, Hy Lạp.	Đa tinh thể
Elibol et al. [30]	Nhiệt độ không khí xung quanh tăng 1 °C làm tăng hiệu quả của chất vô định hình tấm tinh thể giảm 0,029%, tấm đa tinh thể giảm 0,033% và giảm năng suất của tấm pin đơn tinh thể tăng 0,084%.	DUBIT ở Duzce Tỉnh ở Thổ Nhĩ Kỳ.	Đơn tinh thể, đa tinh thể và tinh thể vô định hình

3.3. Tốc độ gió

Hiệu suất của tế bào quang điện nhạy cảm với vận tốc gió ở cả hai cách tích cực và tiêu cực. Gió mang đi các hạt bụi cho lắp đặt PV nghiêng và giảm bụi bám trên bề mặt PV do đó ảnh hưởng tích cực. Bảng 3 [34-38] cung cấp một số công trình đã công bố về ảnh hưởng của luồng không khí đến hiệu suất PV. Tuy nhiên, tốc độ gió tăng sẽ mang theo bụi và các hạt cát khác trên bề mặt mô-đun, do đó làm giảm hiệu suất PV [10]. Việc tiếp xúc ngoài trời của các tấm pin mặt trời dẫn đến việc tạo ra của quá trình trao đổi năng lượng cũng như nhiệt giữa bộ thu PV và môi trường bên ngoài. Nhiệt độ mà bảng điều khiển hoạt động phụ thuộc vào sự cân bằng được thiết lập giữa nhiệt sinh ra bởi Mô-đun PV và năng lượng bị mất ra môi trường bên ngoài do dẫn nhiệt, đối lưu và bức xạ như thể hiện trong Hình 1 [10]. Dư thừa điều kiện trạng thái ổn định, sự dẫn điện một chiều xác định sự truyền nhiệt diễn ra bên trong cơ thể khi có sự chênh lệch ở nhiệt độ, tỷ lệ thuận với chênh lệch nhiệt độ (dT) qua khoảng cách (x) như trong phương trình (6) [10]:

$$H_{K_{\text{tấm}}} = \frac{dT}{\text{trọng tải}} \tag{5}$$

Dấu âm ngụ ý một luồng nhiệt dư thừa theo hướng độ dốc nhiệt độ âm (dT/dx). Sự mất nhiệt do bức xạ xảy ra khi có sự chênh lệch nhiệt độ giữa bộ thu nhiệt mặt trời và khí quyển. Sự truyền nhiệt bức xạ được đưa ra như sau,

$$H = \text{rad} \frac{\mu_0 T_{\text{rad}}}{\text{mặt}} = \frac{v_{\text{eff}}}{T} \sigma T^4 \tag{6}$$

Đối lưu là phương thức truyền nhiệt giữa hai vật thể sử dụng chất lỏng chảy. Đối với tấm pin mặt trời, sự mất nhiệt do sự đối lưu xảy ra do luồng gió thổi qua bề mặt tấm pin. phương trình tổng quát [10] để giải thích sự truyền nhiệt đối lưu là:

$$H_{\text{đối lưu}} = \frac{h_{\text{đối lưu}}}{\text{mặt}} \cdot h \cdot T \tag{7}$$

Hệ số truyền nhiệt đối lưu tỷ lệ thuận với N, số Nusselt và độ dẫn nhiệt và tỷ lệ nghịch với chiều rộng khe hở giữa các tấm kính của tấm.

hệ số truyền nhiệt đối lưu h là một [10] được định nghĩa thông qua N, tỷ lệ giữa truyền nhiệt đối lưu và truyền nhiệt dẫn và là một hàm số của Gr , số Grashof và Pr , Số Prandtl .

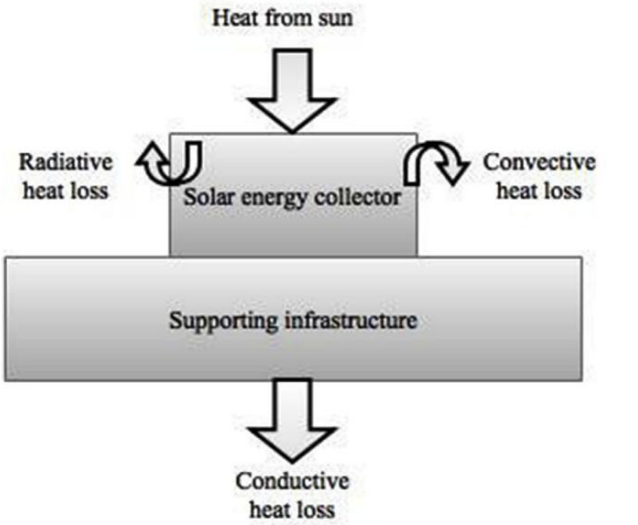
$$\frac{h}{\text{số lượng}} = \frac{h}{\text{tải}} \tag{8}$$

$$N = aGP \tag{9}$$

$$Ra, \text{ số Rayleigh được thể hiện theo } GrPr \text{ như } \tag{10}$$

Ở Pr không đổi và Gr thay đổi , dòng chảy tầng và dòng chảy nhiễu loạn quan sát một số Rayleigh trong khoảng từ 107 đến 109. Bảo toàn năng lượng là nguyên lý cơ bản của truyền nhiệt. Vì vậy, áp dụng định luật bảo toàn năng lượng,

$$HHH \text{ con} \text{ rad} \tag{11}$$



Hình 1. Hiện tượng truyền nhiệt trong pin quang điện (trích từ Tài liệu tham khảo. [10]).

Do đó, khi tốc độ gió tăng, nhiệt độ của không khí giảm, do đó làm giảm nhiệt độ hoạt động của pin mặt trời. Sự tăng cường luồng không khí này gây ra sự gia tăng lưu lượng nhiệt bị mất từ tấm pin do dẫn nhiệt, đối lưu và bức xạ. Theo cách này, vận tốc không khí hoạt động tích cực để cải thiện hiệu suất và hiệu quả của pin mặt trời [39].

3.4 Độ ẩm

Tác động của độ ẩm đến hiệu suất PV phụ thuộc rất nhiều vào các giọt hơi nước lơ lửng có trong khí quyển. Kéo dài việc tiếp xúc của các tấm pin quang điện với độ ẩm có thể gây ra sự xâm nhập của độ ẩm dẫn đến sự tách lớp của chất đóng gói. Tan et al. [40] thử nghiệm đã nghiên cứu sự suy thoái trong tế bào quang điện khi chịu độ ẩm môi trường. Khi thời gian thí nghiệm tăng lên, độ ẩm bên trong tế bào quang điện làm hỏng các liên kết dính giao diện gây ra hiện tượng tách lớp và dư thừa đi vào cao hơn, do đó dẫn đến mất thụ động. Nghiên cứu cho thấy dòng điện ngắn mạch cho thấy một sự thay đổi đáng kể suy giảm hơn điện áp mạch hở gây ra sự suy thoái nghiêm trọng trong công suất đầu ra tối đa. Touati et al. [27] nhận thấy rằng loại bảng điều khiển được sử dụng cũng ảnh hưởng đến hiệu suất PV trong khi nghiên cứu tác động của độ ẩm tương đối trên hiệu quả của tấm pin. Các tác giả đã kiểm tra tác động của độ ẩm tương đối và so sánh hiệu suất giữa hệ thống PV đơn tinh thể và vô định hình. Nghiên cứu cho thấy rằng tấm pin quang điện vô định hình bị ảnh hưởng nghiêm trọng bởi nhiệt độ và tương đối độ ẩm cao hơn các mô-đun PV đơn tinh thể. Sự giảm hiệu quả này cho thấy các tấm pin PV đơn tinh thể có khả năng chống chịu tốt các yếu tố khí hậu như độ ẩm tương đối và nhiệt độ. Độ ẩm cũng ảnh hưởng đến bức xạ mặt trời chiếu tới gây ra sự giảm mức độ bức xạ do sự phản xạ, nhiễu xạ và khúc xạ của nước các giọt có trong khí quyển. Gwandu và Creasey [41] đã phân tích

Bảng 3			
Tác động của vận tốc không khí đến hiệu suất PV			
Tham quyền giải quyết	Tác động của vận tốc không khí	Vị trí	Loại tế bào
Said và cộng sự [37]	Nhiệt độ mô-đun cao hơn đối với mọi mức gió và bức xạ trong khoảng từ 200 đến 1200 W/m2 .	Ả Rập Saudi	Đơn tinh thể
Kuznik và cộng sự [34]	Sự khác biệt giữa mô-đun và nhiệt độ môi trường giảm xuống một nửa giá trị cho bất kỳ chuyển đổi khác không nào hiệu quả khi tốc độ gió tăng từ 0 đến 12 m/s.	Slovenia.	-
Kaldellis et al. [38]	Ở tốc độ gió cao hơn 3,5 m/s, giá trị hệ số Ross giảm từ 0,03 ± 0,005 xuống 0,015 ± 0,005.	Hy Lạp.	Đa tinh thể
Gokmen et al. [35]	Tốc độ gió làm tăng ước tính năng lượng lên 3,5%.	Đan Mạch.	Đa tinh thể
Goverde et al. [36]	Tốc độ gió làm giảm nhiệt độ từ 4 đến 5 °C gần mép trước của mô-đun PV.	Bỉ.	Đa tinh thể

sự thay đổi cường độ bức xạ mặt trời theo độ ẩm để nghiên cứu hiệu quả của mô-đun PV trong bầu khí quyển ẩm ướt của vùng nhiệt đới Sudan Savannah. Các tác giả nhận thấy sự khác biệt không tuyến tính của điện áp mạch hở với mức bức xạ và sự thay đổi tuyến tính của dòng điện ngắn mạch. Khu vực này dễ có tốc độ gió cao làm giảm nhiệt độ mô-đun và do đó bù đắp cho mức độ chiếu xạ thấp hơn bằng độ ẩm cao hơn. [Bảng 4](#) tập trung vào tác động của độ ẩm đến năng suất PV [\[26,27,40,42,43\]](#).

3.5. Tuyết rơi

Công nghệ PV ở các quốc gia lạnh hơn trên thế giới phải đối mặt với những mối đe dọa nghiêm trọng do mưa đá và tuyết rơi. Tuyết và băng tích tụ trên bề mặt tấm pin hạn chế ánh sáng mặt trời chiếu tới các tế bào quang điện và do đó làm giảm sản lượng năng lượng. Các nghiên cứu thực nghiệm đã phát hiện ra rằng góc nghiêng, hướng của mô-đun PV và các yếu tố khí tượng ảnh hưởng đến hiệu suất hệ thống PV hàng năm và hàng tháng [\[44\]](#). Powers và cộng sự đã nghiên cứu thực nghiệm về ảnh hưởng của nhiều góc nghiêng khác nhau đến việc giảm tổn thất năng lượng do tuyết phủ từ các tấm pin PV được vệ sinh thường xuyên cũng như không được vệ sinh. Kết quả cho thấy sản lượng năng lượng hàng năm giảm 12%, 15% và 18% tương ứng với độ nghiêng 39°, 24° và 0°. Phát hiện quan trọng từ công trình nghiên cứu này là việc giảm tổn thất điện năng phụ thuộc vào lượng tuyết phủ trên bề mặt tấm pin PV và góc nghiêng của màng PV [\[45\]](#). Marion và cộng sự đã nghiên cứu tổn thất năng lượng từ hệ thống PV do tuyết phủ đối với sáu hệ thống PV được lắp đặt tại Colorado và Wisconsin trong mùa đông năm 2010–2011 và 2011–2012. Nghiên cứu phát hiện ra rằng tổn thất năng lượng giảm 90% và sản lượng năng lượng hàng năm giảm từ 1% xuống 12% [\[44\]](#). [Bảng 5](#) đề cập đến tác động của tuyết rơi đến năng suất PV [\[44–48\]](#).

3.6. Mưa đá

Mưa đá là mưa từ trên trời rơi xuống dưới dạng những viên đá hoặc cục băng lớn hơn. Bão mưa đá có thể gây ra mối đe dọa nghiêm trọng đối với các mô-đun PV bằng cách tạo ra các vết nứt trong ô [\[49\]](#) và cuối cùng làm vỡ kính tấm PV [\[50\]](#) dẫn đến giảm hiệu suất. Những viên mưa đá di chuyển nhanh gây ra thiệt hại đáng kể cho các ô năng lượng mặt trời bên trong mà không gây ra thiệt hại bên ngoài. Quá trình này được gọi là nứt vi mô có thể làm giảm sản lượng của hệ thống PV. Foizman [\[51\]](#) đã nghiên cứu 11.000 tấm pin PV do Phòng thí nghiệm Lincoln của MIT lắp đặt tại các địa điểm thực địa ở Hoa Kỳ. Nghiên cứu phát hiện ra rằng gần 320 mô-đun bị hỏng điện đã được tháo ra do nứt ô, hỏng mối hàn, chập ô hoặc kết nối giữa các ô và kết nối giữa các ô bị đứt. Một nửa số tấm pin PV được kiểm tra bị nứt do va đập do mưa đá. Muehleiden và cộng sự [\[52\]](#) đã theo dõi thực nghiệm tác động của mưa đá đến bản chất xuống cấp của các mô-đun PV. Các tác giả đã thử nghiệm ba nhà máy PV ở miền nam Áo bị ảnh hưởng bởi mưa đá có đường kính 40 mm và phát hiện

thiệt hại có thể nhìn thấy của các tấm kính PV. Hình ảnh UV-F và phép đo EL đã xác nhận các ô bị phân đoạn hoàn toàn, các vết nứt hình chữ U thẳng và các vết nứt nhỏ hình chữ thập trong các tấm pin. Tổn thất điện năng được tìm thấy trong các mô-đun này là khoảng 30%, điều này đã được xác nhận thêm bằng các phép đo công suất song song.

3.7. Bão cát

Bão cát là thời tiết nguy hiểm, khi các hạt cát bị thổi từ bề mặt lên không khí khiến không khí trở nên đục. Các tấm pin PV được lắp đặt ở các vùng sa mạc thường xuyên phải hứng chịu bão cát. Bão cát làm tăng lượng bụi bám trên bề mặt tấm pin và làm cho bề mặt trở nên mờ đục, gây ra sự giảm đáng kể sản lượng năng lượng. Mostefaoui và cộng sự [\[53\]](#) đã nghiên cứu ảnh hưởng của bụi cát và bão cát đến hiệu suất của tấm pin PV ở vùng sa mạc của thành phố Adrar, phía nam Algeria. Các tấm pin PV đã tiếp xúc với khí hậu ngoài trời trong sáu tháng mà không được vệ sinh, sau đó, các tấm pin này được vệ sinh bằng khăn lau kính và nước. Nghiên cứu cho thấy hiệu suất PV giảm với đặc tính dòng điện-điện áp (IV)/công suất-điện áp (PV) và các thông số hiệu suất thấp hơn vào ngày có bão cát so với ngày quang đãng. Bouraiou và cộng sự [\[54\]](#) đã đánh giá ảnh hưởng của việc che bóng một phần và tích tụ cát trên các tấm pin PV trong môi trường sa mạc trong hai tháng tại thành phố Adrar. Nghiên cứu cho thấy sản lượng giảm từ 79,7 W xuống 16,45 W do bóng râm một phần. Việc tiếp xúc liên tục các tấm pin trong môi trường sa mạc đã làm hỏng các mô-đun, dẫn đến đổi màu chất đóng gói và tách lớp. [Bảng 6](#) tập trung vào tác động của bão cát đến năng suất PV [\[53,55–59\]](#).

4. Các khiếm khuyết trong mô-đun PV do các yếu tố môi trường gây ra

Tuổi thọ của mô-đun PV phụ thuộc vào chất lượng của mô-đun và khí hậu nơi lắp đặt tấm pin. Hiệu suất của hệ thống PV bị ảnh hưởng rất nhiều bởi các chế độ hỏng hóc và sự xuống cấp, và việc đánh giá hiệu suất trong điều kiện ngoài trời và trong nhà là điều cần thiết để thiết kế mô hình dự đoán. Phần tiếp theo mô tả các chế độ hỏng hóc khác nhau của hệ thống PV do các yếu tố môi trường khác nhau gây ra.

4.1. Sự đổi màu

Sự đổi màu của chất đóng gói PV (EVA) khi tiếp xúc liên tục với ánh sáng mặt trời là tác nhân chính gây ra sự suy giảm công suất trong hệ thống PV [\[60\]](#). Sự đổi màu này cuối cùng làm giảm ánh sáng mặt trời chiếu tới các tấm pin PV. Bốn loại muối bạc khác nhau [\[61\]](#) như bạc phosphate, bạc sunfua, bạc cacbonat và bạc axetat chịu trách nhiệm cho sự đổi màu. Chúng tạo thành tinh thể trên bề mặt trước gây ra hiện tượng kim loại hóa các ô trong các mô-đun PV. Không khí ẩm cao hơn, nhiệt độ môi trường xung quanh và chất lượng của chất đóng gói làm tăng hiệu quả sự đổi màu trên bề mặt PV và

Bảng 4			
Ảnh hưởng của độ ẩm đến hiệu suất PV			
Tham quyền giải quyết	Tác động của độ ẩm	Vị trí	Loại tế bào
Rahman và cộng sự [26]	Công suất đầu ra của PV giảm xuống còn 3,16 W khi độ ẩm tương đối tăng 20% và xuống còn 1,58 W khi độ ẩm tương đối tăng 10%.	UM, Malaysia.	Đơn tinh thể
Touati và cộng sự [27]	Đối với PV đơn tinh thể, trong ngày (8:30 sáng đến 15:45 chiều), việc giảm độ ẩm tương đối (28–22%) làm tăng hiệu suất PV (0,71–0,8). Đối với PV vô định hình, trong ngày (8:30 sáng đến 15:45 chiều), việc giảm độ ẩm tương đối (28–22%) làm tăng hiệu suất PV (0,385–0,616).	Doha, Qatar.	Đơn tinh thể và vô định hình
Kazem và Chaichan [42]	Công suất màng PV giảm 43,48, 48,42 và 58,38% và điện áp tấm pin PV giảm 23,18, 24,88 và 25% trong tháng 7, tháng 8 và tháng 9. Độ ẩm tương đối tăng từ 67 lên 95% làm giảm dòng điện 44,44%.	Thành phố Sohar, Oman.	Đơn tinh thể
Tan và cộng sự [40]	Sự suy giảm dòng điện ngắn mạch và công suất đầu ra tối đa. Sự tách lớp của chất đóng gói, các liên kết dính giữa các mặt bị yếu đi, đường dẫn vào tăng lên, mẫu bị cong vênh do chất đóng gói bị phồng lên và mất khả năng thụ động.	Singapore.	Vô định hình
Kawano và cộng sự [43]	Lớp PEDOT: PSS không đồng nhất về mặt không gian, hình thành các màng cách điện, mất dòng điện thiết bị và hiệu suất thiết bị.	–	Pin mặt trời hữu cơ

Bảng 5

Tác động của tuyết rơi đến hiệu suất PV			
Tham quyền giải quyết	Tác động của tuyết rơi	Vị trí	Loại tế bào
Meyta và Savrasov [46]	Hiệu suất giảm 13% vào ngày trời quang và 40% vào ngày nhiều mây	Như ở Nga.	Đơn tinh thể
Marion và cộng sự [44]	Tổn thất sản xuất là 1-12%	Colorado và Wisconsin Canada.	Đa tinh thể
Andrews và cộng sự [47]	Tổn thất dòng điện ngắn mạch, giảm công suất 29-		Silic vô định hình và tinh thể
Heidar và cộng sự [48]	34% tổn thất năng lượng hàng năm	Michigan.	Đa tinh thể
Powers và cộng sự [45]	Tổn thất điện năng hàng năm từ 12-18%	Hoa Kỳ và Canada.	Đa tinh thể

các ngón tay lư đi.

4.2. Ăn mòn

Ăn mòn là phản ứng điện hóa của kim loại với độ ẩm từ môi trường xung quanh. Khả năng phản ứng của kim loại trong các mô-đun PV gây ra các vết nứt trong các liên kết hàn, sự hình thành của Ag ngón tay, sự ăn mòn của tế bào và sự suy thoái của phân xạ lớp phủ [62]. Nhiệt độ cao hơn, độ ẩm [63], điện áp hệ thống và sự hấp thụ độ ẩm của chất đóng gói làm tăng tốc độ ăn mòn và quá trình oxy hóa làm tăng điện trở nối tiếp, làm giảm hệ số lấp đầy và làm giảm công suất đầu ra của hệ thống PV.

4.3. Kính vỡ và nứt

Kính vỡ và nứt được hình thành do ứng suất cơ học, mưa đá và ném đá, vận chuyển, ứng suất nhiệt do tiếp xúc ngoài trời, bảo trì và xử lý [5]. Các vết nứt nhỏ hình thành trong quá trình sản xuất các mô-đun PV rất khó nhận thấy bằng mắt thường. Những vết nứt này gây ra sự xâm nhập của hơi ẩm, nguy cơ bị điện giật và giảm công suất [64]. Sự vỡ tấm pin quang điện cũng làm tăng sự ăn mòn, tách lớp và đổi màu.

4.4. Đuờng mòn của ốc sên

Các mô-đun PV tiếp xúc với môi trường ngoài trời trong một số tháng phát triển sự đổi màu của các ngón tay tiếp xúc trên khắp tế bào [65]. Tấm sau bị bong ra do thẩm hơi nước và kết quả trong các sọc tối không đều được gọi là đường mòn ốc sên hoặc đường đi của ốc sên. Hiện tượng này ảnh hưởng đáng kể đến sản lượng PV và các nhà nghiên cứu vẫn chưa xác định được lý do thực sự đằng sau sự hình thành các vết ốc sên.

4.5. Sự suy giảm lớp phủ chống phản xạ (ARC)

Sự hình thành bụi bẩn trên bề mặt mô-đun đáng kể làm hỏng lớp phủ chống phản xạ. Thiệt hại này gây ra sự thay đổi trong độ truyền quang phổ trong phạm vi nhìn thấy được là 600-700 nm. Bụi tích tụ gây ra sự giảm công suất mạnh mẽ trong các mô-đun chống phản xạ [37].

4.6. Điểm nóng

Phân chim, lá cây và bụi bẩn cản trở một số tế bào của

mô-đun PV và chặn dòng điện được tạo ra từ các ô khác. Điều này việc che bóng vận hành diode ở chế độ phân cực ngược, làm nóng các cell và gây ra điểm nóng, làm hỏng mô-đun PV. Dhimish và cộng sự đã đề xuất kỹ thuật giảm thiểu các điểm nóng để tăng cường sản lượng điện PV sử dụng bóng bán dẫn hiệu ứng trường oxit kim loại công suất (MOSFET). Phương pháp này duy trì một phần điện áp phân cực ngược trên các ô được tô bóng [66].

4.7. Tách lớp

Sự tách lớp của chất đóng gói là sự suy thoái chính trong PV mô-đun do mất độ bám dính giữa lớp tách lớp thủy tinh-chất đóng gói, tế bào-chất đóng gói và lớp tách lớp mặt sau-chất đóng gói [67]. Sự hiện diện của khả năng khuếch tán oxy và nước của chất đóng gói bảo vệ các tế bào PV từ bức xạ UV và điều kiện thời tiết bên ngoài. Liên tục tiếp xúc với bức xạ UV, độ ẩm và nhiệt độ môi trường xung quanh khiến EVA đổi màu thành vàng hoặc nâu [6]. Tế bào này quá trình tẩy trắng cuối cùng tạo thành bọt khí ở EVA, tấm nền và cuối cùng ăn mòn tế bào quang điện dẫn đến hiệu suất kém của hệ thống quang điện.

5. Phát hiện lỗi trong mô-đun PV

Tất cả các tấm pin quang điện đều trải qua hiện tượng suy thoái do quá trình lão hóa. Qua nhiều năm, điều này dẫn đến mất điện từ PV hệ thống và sự suy giảm tổng thể về công suất do sự cố của một pin mặt trời trong mô-đun. Các sự kiện đặc biệt mà các tấm pin này trải qua khi nó trải qua sự suy thoái được gọi là chế độ hỏng hóc. Sau đây phương trình cung cấp tốc độ suy thoái (D) như

$$D = \frac{\text{cải các}}{N}$$

(12)

Phân loại các lỗi trong các mô-đun PV bao gồm quang học sự suy thoái, sự suy thoái về điện và các khuyết tật không được phân loại. sự suy thoái quang học bao gồm sự tách lớp và hình thành bong bóng, vỡ lớp kính phía trước và lớp keo bị đổi màu. Hàn kém, che bóng, phân luồng và các cell bị ngắn mạch, các vết nứt cell và các dây kết nối bị đứt sẽ bị suy thoái về điện. Các lỗi không được phân loại bao gồm một diode bypass bị lỗi, hở mạch phụ và sự suy thoái tiềm ẩn gây ra [68]. Việc điều tra các quá trình suy thoái khác nhau đang thu hút sự chú ý ngày nay do sự triển khai rộng rãi của các hệ thống PV quy mô lớn. phần sau đây giải thích một số kỹ thuật như hình ảnh

Bảng 6

Tác động của bão cát đến hiệu suất PV			
Tham quyền giải quyết	Tác động của bão cát	Vị trí	Loại tế bào
Mostefaoui et al. [53]	Mật độ lắng đọng hạt 2,6 g/m ² , hiệu ứng che bóng, giảm công suất, giảm ngắn mạch hiện hành	Saharan của Adrar, Algeria.	Đơn tinh thể
El-Nashar và cộng sự [56]	Giảm khả năng truyền dẫn, giảm sản lượng hàng năm 60% Năng	Ấu Sahara, các Tiểu Vương quốc Ả Rập Thống nhất.	-
Dabou và cộng sự [57]	suất thấp hơn, hiệu suất biến tần, mô-đun và hệ thống không đều Mất từ trường đối		Đơn tinh thể
Semaoui và cộng sự [58]	dòng điện ngắn mạch 1,75%, mất điện Bóng râm một phần, Mất điện Khả		Đơn tinh thể
Bouraiou và cộng sự [55]	năng truyền dẫn (T), khả năng		Đơn tinh thể và đa tinh thể
Cabrera và cộng sự [59]	phản xạ (R) và mất dòng điện ngắn mạch cao hơn		Các loại tế bào khác nhau

M. Santhakumari và N. Sagar

kiểm tra, đo lường các đặc điểm của mô-đun IV, hình ảnh IR, LIT, hình ảnh EL và hình ảnh huỳnh quang UV [69] để phát hiện các lỗi và hư hỏng trong mô-đun.

5.1. Kiểm tra bằng mắt

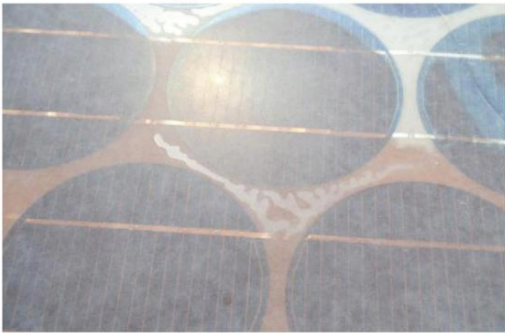
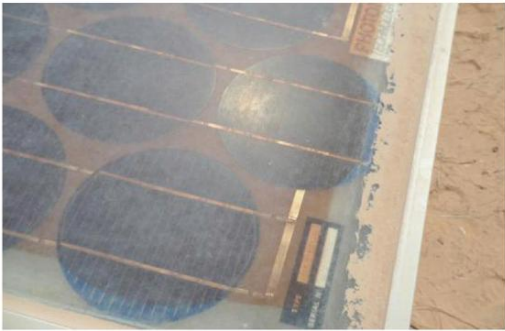
Sau thời gian dài sử dụng hệ thống PV, mô-đun PV sẽ gây ra một số khiếm khuyết làm ảnh hưởng đến đặc tính điện của hệ thống PV. Những khiếm khuyết này dẫn đến tình trạng ổ vàng, tách lớp, hình thành bong bóng và vết nứt, cháy tế bào và lỗi trong lớp phủ chống phản xạ, gây ra nguy cơ tiềm ẩn cho hiệu suất của các mô-đun. Kiểm tra trực quan là phương pháp tốt nhất và đầu tiên để tìm ra các khiếm khuyết của con người mất tự nhiên dưới ánh sáng mặt trời tự nhiên. Đánh giá này phải được thực hiện để phân biệt các lớp ở các góc độ khác nhau mà lỗi có thể xảy ra do hình ảnh phản chiếu [70]. Bouzaiou et al. [55] đã kiểm tra trực quan các lỗi có thể phát hiện được của 608 mô-đun PV bên trong địa điểm của các cánh đồng trung bình Saharan và trung tâm PV của Melouka trong điều kiện vận hành thực tế trong môi trường sa mạc ở Algeria. Các tác giả đã quan sát thấy độ nghiêng không tối ưu là 17°, các tấm kính bị vỡ do nhiệt độ cao và bụi cát tích tụ ở mép dưới của mô-đun tại cánh đồng trung tâm PV Melouka. Ngoài ra, sự đổi màu EVA và ăn mòn kim loại hóa đã làm hỏng các tấm PV (Hình 2). Các tấm PV tại cánh đồng Saharan đã bị hiệu ứng vết ốc sên, trầy xước kính, ăn mòn kim loại hóa, đổi màu EVA, nứt các tế bào quang điện, ăn mòn thanh cái và tách lớp.

5.2. Kiểm tra trong nhà bằng bộ mô phỏng năng lượng mặt trời

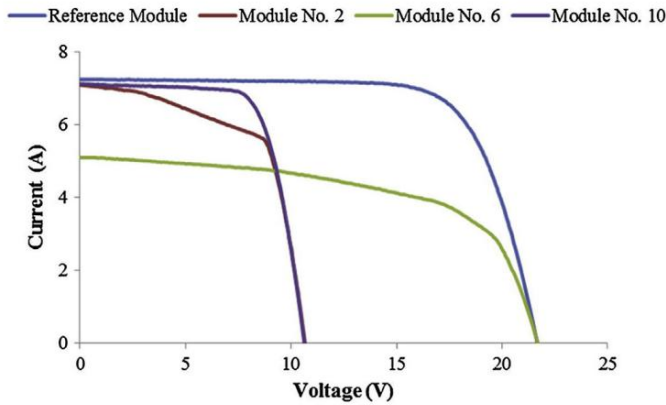
Việc sử dụng bộ mô phỏng năng lượng mặt trời và phổ i tấm pin dưới ánh sáng mặt trời tự nhiên giúp xác định Isc, Voc, Vm, FF, điện trở nối tiếp và điện trở phân luồng, hiệu suất của cell và mô-đun, đặc tính IV và PV. Những tính toán này giúp tìm ra các tính năng của các mô-đun với các công nghệ khác nhau như công nghệ mono, poly và màng mỏng bằng cách phơi các tấm pin với sự phân bố ánh sáng đồng nhất với phổ ánh sáng liên tục. Các điều kiện môi trường phải được quan sát để duy trì nhiệt độ ổn định nhằm giảm hiệu chỉnh điện áp và dòng điện do hệ số nhiệt độ cụ thể của từng tấm pin [70]. Shazma và Chandel [64] đã nghiên cứu hệ thống PV 1 kW bao gồm 10 mô-đun gồm các mô-đun Si đa tinh thể 100 W được lắp đặt trên mái nhà của CEE, NIT-H ở vùng Himalaya của Himachal Pra-desh, Ấn Độ. Các tác giả đã tiến hành thử nghiệm trong nhà các mô-đun bằng bộ mô phỏng Mặt trời Endeas Quick Sun 700 loại A và so sánh các định mức của tấm pin sau 2,5 năm phơi ngoài trời. Nghiên cứu cho thấy sự suy giảm công suất trung bình ở mô-đun số 2, 6 và 10 đạt 50% khi so sánh với các mô-đun khác. Do giá trị Voc giảm, mô-đun số 2 và 10 bị suy giảm công suất trong khi giá trị Isc và FF giảm khiến công suất của mô-đun số 6 giảm (Hình 3).

5.3. Hình ảnh hồng ngoại (IR)

Phương pháp không tiếp xúc và không phá hủy, hình ảnh IR đo các lỗi về điện và nhiệt trong mô-đun PV, trong đó phép đo được thực hiện trong điều kiện trạng thái ổn định. Công nghệ này sử dụng camera IR nhạy cảm với phát xạ vật đen trong phạm vi từ 3,6–5 μm. Bằng cách phơi các tấm pin với hình ảnh nhiệt hoặc IR, các ô kém cũng như các ô bị phân luồng sẽ xuất hiện dưới dạng các điểm nóng sáng khi so sánh với các ô khác do tản nhiệt. Bằng cách tạo ra dòng điện bên ngoài theo hướng về phía trước hoặc bằng cách chiếu sáng vào mô-đun PV, các tấm pin cho thấy một gradient nhiệt độ giúp phân tích các hình ảnh nhiệt. Những hình ảnh này hỗ trợ tìm ra các khu vực có thể xảy ra các vấn đề tiềm ẩn [70]. Rajput và cộng sự [71] đã phân tích các chế độ suy thoái và cơ chế của 90 mô-đun PV silicon đơn tinh thể được lắp đặt trên mái nhà khách NISE, Gurgaon, Ấn Độ sau 22 năm tiếp xúc ngoài trời. Ở mức độ chiếu xạ 800 W/m2 vào một ngày nắng, mảng mô-đun PV đã trải qua các phép đo nhiệt bằng Máy ảnh nhiệt EasIR-4000. Góc nhìn được giữ ở



Hình 2. Các khiếm khuyết quan trọng được tìm thấy trong tấm pin quang điện ở trung tâm Melouka (được chuyển thể từ Tài liệu tham khảo [55]).



Hình 3. So sánh các đặc tính IV (dòng điện-điện áp) của các mô-đun bị suy giảm (Số: 2, 6 và 10) với mô-đun tham chiếu (Số: 7) (được chuyển thể từ Tài liệu tham khảo [64]).

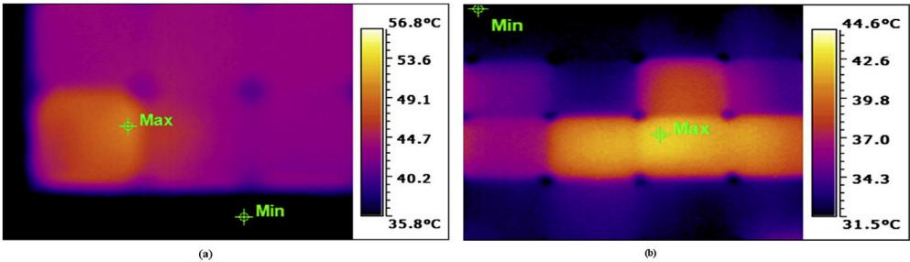
90° trong khi chụp ảnh ở khoảng thời gian 60 giây. Nghiên cứu phát hiện ra rằng 37 mô-đun cho thấy 2 điểm nóng, 15 mô-đun cho thấy 1 điểm nóng, 12 mô-đun cho thấy 2 điểm nóng, 9 mô-đun cho thấy 3 điểm nóng và 1 mô-đun cho thấy 4 điểm nóng. So sánh hình ảnh IR của tấm pin với một điểm nóng và bốn điểm nóng cho thấy nhiệt độ thấp hơn trong trường hợp 4 điểm nóng do diện tích lớn mà dòng rò rỉ nhỏ hơn trong trường hợp 1 điểm nóng (Hình 4).

5.4. Khóa nhiệt độ (LIT)

Một kỹ thuật không phá hủy, LIT được sử dụng để xác định lỗi trong các mô-đun PV tinh thể, màng mỏng và hữu cơ. Công nghệ này sử dụng camera nhạy IR, máy phát hồng ngoại, bộ khuếch đại công suất, đèn LED để kích thích quang học và máy tính để phân tích dữ liệu. Ở đây, quá trình kích thích tế bào quang điện được thực hiện bằng cách đưa xung dòng điện vào trong điều kiện tối (DLIT) hoặc sử dụng nguồn sáng (ILIT). Sự hiện diện của các shunt cục bộ trong tế bào quang điện làm tăng nhiệt độ của tế bào và camera IR sẽ chụp ảnh nhiệt truyền qua tế bào. Sinha và cộng sự [72] đã nghiên cứu phân tích định tính và định lượng không gian về sự suy giảm quang học do sự đổi màu của chất đóng gói trong các mô-đun PV (mô-đun màu nâu và không phải màu nâu). Các tác giả đã sử dụng DLIT để xác định đặc tính nhiệt bằng camera IR bằng cách chụp ảnh các tấm pin trong 100 giây ở tốc độ khung hình 150 Hz. Nghiên cứu phát hiện ra rằng nhiệt độ thay đổi nhiều hơn ở các mô-đun màu nâu so với các mô-đun không phải màu nâu (Hình 5). Tính toán độ lệch chuẩn trong dữ liệu pixel thu được của ảnh nhiệt cho thấy mô-đun màu nâu có độ lệch điện lớn hơn do sự đổi màu dẫn đến giảm FF và công suất đầu ra. Kỹ thuật này hiệu quả trong việc tìm ra tổn thất điện năng do hiệu ứng đổi màu bằng cách chụp ảnh chênh lệch nhiệt độ và các vùng khuyết tật trong mô-đun được đóng gói.

5.5. Chụp ảnh điện phát quang (EL)

Hình ảnh EL là một cách hiệu quả để xác định mô-đun



Hình 4. Hình ảnh hồng ngoại của mô-đun: (a) một điểm nóng (b) bốn điểm nóng (được chuyển thể từ Tài liệu tham khảo [71]).

đặc điểm khi nó phát hiện các vết nứt trong các tế bào xuất hiện dưới dạng tối trong hình ảnh IR (được xác định bởi camera CCD). Việc tiêm các chất mang thiếu số vào đáy của tế bào năng lượng mặt trời dẫn đến sự phát xạ các photon từ tế bào năng lượng mặt trời. Các photon này được phát hiện bởi camera cho thấy các khuyết tật bên trong và bên ngoài làm giảm nồng độ chất mang thiếu số. Sinha et al. [72] đã sử dụng hình ảnh EL ngoài kỹ thuật DLIT để tìm mức độ mất màu trong chất đóng gói.

Hình ảnh EL (Hình 6) cho thấy các mẫu tối ở trung tâm của các mô-đun màu nâu do sự đổi màu của EVA làm giảm sự truyền bức xạ EL từ pin mặt trời. Các mô-đun không phải màu nâu cũng cho thấy

mẫu tối trong một số cell khác với các tấm pin màu nâu do các vấn đề về điện như gãy ngón tay. So sánh hình ảnh EL với hình ảnh DLIT đã xác nhận xu hướng bóng mờ trong các tấm pin PV. Kỹ thuật EL cũng giúp phân tích sự khác biệt về điện áp phân cực cell trong mô-đun bằng cách quan sát sự đổi màu không đều.

5.6. Chụp ảnh huỳnh quang cực tím (UV)

Huỳnh quang UV của EVA giúp phân tích hiệu ứng ngả vàng của mô-đun PV. Việc EVA tiếp xúc liên tục với ánh sáng mặt trời dẫn đến nứt các phân tử bên trong lá kim loại và do đó dẫn đến sự hình thành các sắc tố trong EVA. Theo thời gian, sự hiện diện của oxy phân hủy các sản phẩm huỳnh quang thành các sản phẩm không huỳnh quang thông qua cơ chế oxy hóa quang. Sau đó, oxy đi vào bên trong các vết nứt và cạnh của mô-đun, dẫn đến sự phân hủy. Huỳnh quang giúp xác định số lượng, vị trí và hướng của các vết nứt bên trong các ô [69]. Muehleisen và cộng sự [52] đã phát hiện ra thiệt hại do mưa đá gây ra đối với các tế bào năng lượng mặt trời bằng cách sử dụng hình ảnh huỳnh quang UV khi vết nứt không nhìn thấy được bằng mắt thường hoặc không nhận biết được bằng nhiệt ảnh. Các tác giả đã kiểm tra ba nhà máy PV bị mưa đá ở phía nam Áo bằng máy ảnh kỹ thuật số được kích thích bằng đèn UV gồm ba mảng đèn LED công suất có thể điều chỉnh và bộ lọc thông thấp. Các vết nứt hình mạng nhận (Hình 7) trong tế bào năng lượng mặt trời cho thấy tác động của mưa đá lên bề mặt tấm pin.

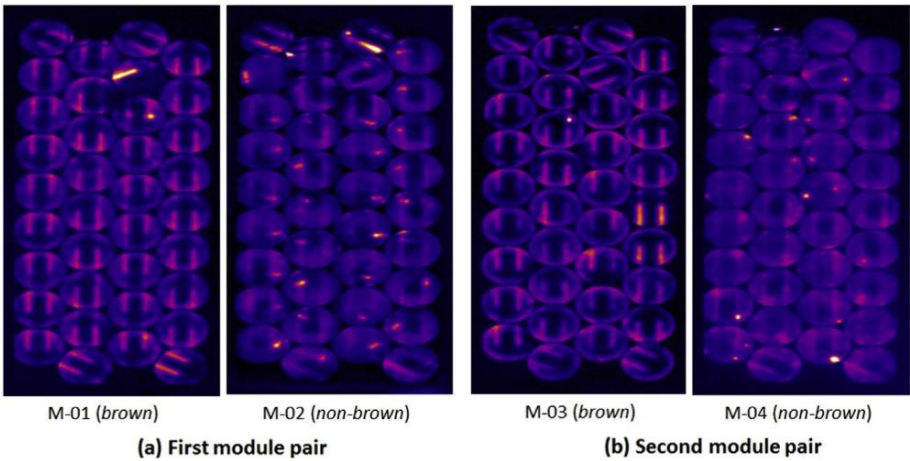
Các tác giả cũng nhận thấy sự tuyệt chủng hình điểm kỳ lạ trong mô hình huỳnh quang UV do các vết nứt nhỏ hình chữ thập trong các ô được xác nhận bằng phương pháp EL. Bảng 7 [5,55,64,71-77] cung cấp tóm tắt các nghiên cứu gần đây về sự cố PV.

6. Kỹ thuật giảm thiểu

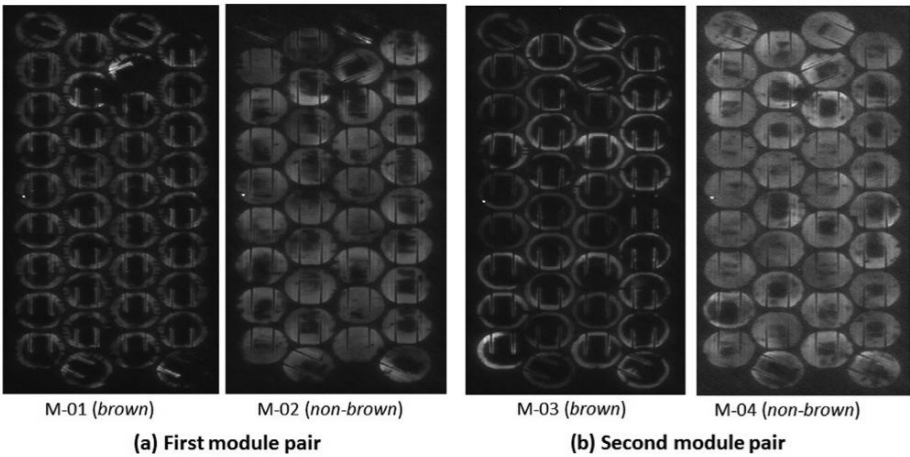
Nhận thức về việc nâng cao hiệu suất PV để cải thiện năng suất năng lượng đã dẫn đến sự phát triển của nhiều kỹ thuật giảm thiểu khác nhau. Các yếu tố môi trường (được mô tả trong phần 3) như bụi, nhiệt độ môi trường, tốc độ gió, độ ẩm, tuyết rơi, mưa đá và bão cát có tác động đáng kể đến hiệu suất PV, có thể gây ra hỏng tấm pin và sau đó dẫn đến sự xuống cấp của các mô-đun. Các phân sau đây nêu bật các phương pháp giảm thiểu khác nhau để giảm sự xuống cấp khác nhau của tấm pin PV.

6.1. Làm mát

Làm mát mô-đun là một cách hiệu quả để cải thiện



Hình 5. Hình ảnh phát quang điện của các mô-đun quang điện bị suy giảm: (a) cặp mô-đun đầu tiên (b) cặp mô-đun thứ hai (đọc chuyển thể từ Tài liệu tham khảo [72]).



Hình 6. Hình ảnh nhiệt khóa tối của các mô-đun quang điện bị suy giảm: (a) cặp mô-đun đầu tiên (b) cặp mô-đun thứ hai (đọc chuyển thể từ Tài liệu tham khảo [72]).

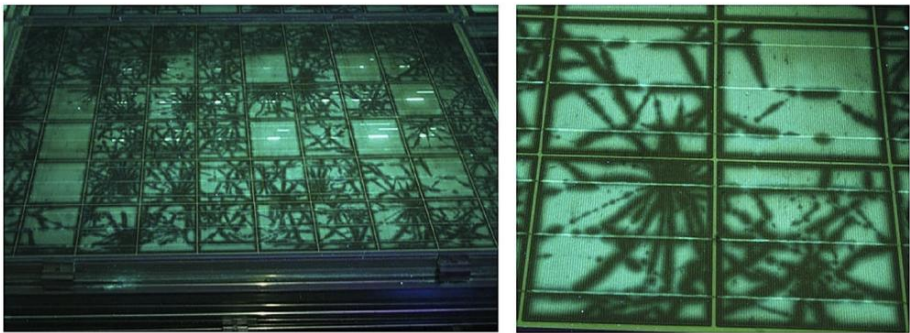
hiệu suất của hệ thống PV, phụ thuộc vào nhiệt độ khí quyển, lắp đặt bộ phận làm mát và vật liệu hoặc loại tế bào PV. Trong tế bào quang điện Si tinh thể, nhiệt độ tăng 1 °C làm giảm hiệu suất của tế bào 0,40-0,50% và 0,25% đối với tế bào quang điện silicon vô định hình [78]. Phần phụ sau đây sẽ xem xét tài liệu về hai loại làm mát bề mặt tấm PV như chủ động và thụ động để nâng cao hiệu quả của hệ thống chuyển đổi năng lượng mặt trời. Phương pháp làm mát chủ động (chủ động bằng không khí và chủ động bằng chất lỏng) yêu cầu năng lượng như máy bơm hoặc quạt và làm mát thụ động (thụ động bằng không khí, thụ động bằng nước và dẫn điện) cần dẫn nhiệt hoặc đối lưu để tạo điều kiện cho việc trích xuất nhiệt.

Bảng 8 [79-84] tóm tắt thông tin chung và thông tin cần thiết

thông số cho các kỹ thuật làm mát chủ động và thụ động của PV.

6.1.1. Làm mát chủ

động Chế độ làm mát chủ động là một cách tiết kiệm chi phí để giảm nhiệt độ quá mức của mô-đun PV do tiếp xúc với không khí ngoài trời. Nižetić et al. [85] đã nghiên cứu hiệu suất PV bằng các kỹ thuật làm mát dựa trên nước để phân tích các khía cạnh kinh tế và môi trường của hệ thống PV 30 kW hoạt động tại thành phố Split, Croatia, nơi có khí hậu Địa Trung Hải điển hình. Một quạt thổi được gắn trên giá đỡ kim loại và luồng không khí cảm ứng làm mát mặt sau của tấm PV bằng hệ thống ống dẫn để tập trung luồng không khí một cách hiệu quả. Điện năng được cung cấp hàng năm bởi mỗi PV 250 W



Hình 7. Mô-đun bị mưa đá làm hỏng của một nhà máy quang điện với hình dạng giống mạng nhện do các vết nứt nhỏ khi sử dụng kỹ thuật huỳnh quang cực tím (đọc chuyển thể từ Tài liệu tham khảo [52]).

Bảng 7

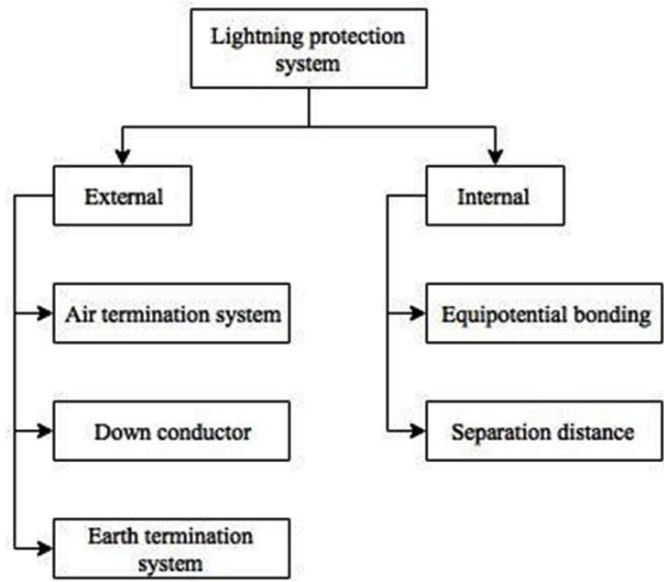
Tóm tắt công trình mới công bố về quá trình phân hủy PV					
Công nghệ PV quốc gia		Giai đoạn	Những sai sót chính	Kỹ thuật phát hiện	Thẩm quyền giải quyết
Ấn Độ	Có tinh thể	20 năm	EVA đổi màu, thanh cái rỉ sét, dư ờng lư ới ngón tay	Kiểm tra trực quan, Đo IV, Phân tích dòng điện khác biệt,	Sinha và cộng sự [72]
				Kiểm tra điện trở cách điện	
	Si đa tinh thể loại p của Malaysia	Chín năm	Các vết nứt trong mô-đun, mất điện, dòng điện rò rỉ	Hình ảnh EL, Đo IV tối, Dòng rò rỉ tại Ứng suất điện áp cao, Đo công suất cực đại	Hồi giáo và cộng sự [73]
	Algérie Năm đơn tinh thể và sáu Si đa tinh thể	20-25 tuổi	Thanh cái liên kết cell bị hỏng, các vết nứt ở cell, lớp phủ chống phản xạ bị suy giảm, sự suy thoái của EVA	Kiểm tra trực quan, đo IV và PV	Kahoul và cộng sự [74]
	Ma-rốc Đơn tinh thể Có	Hai năm 25-	Hộp nối bị đổi màu	Kiểm tra trực quan, đo IV và PV	Bouaichi và cộng sự [75]
	Ấn Độ Đơn tinh thể Có	30 tuổi	Phân hóa tấm nền, thanh cái, dải liên kết cell và liên kết chuỗi ăn mòn ruy băng, tách lớp ở mặt sau, điểm nóng, đổi màu EVA, ăn mòn hộp nối	Kiểm tra trực quan, nhiệt ảnh IR, điện trở cách điện, Đặc điểm IV	Rajput và cộng sự [71]
	Ý Có tinh thể	20 năm	Vàng của chất đóng gói, tách lớp, lỗi kính phía trước, ăn mòn thanh cái, hộp nối rỉ sét, đổi màu ngón tay, đổi màu ruy băng kết nối tế bào	Kiểm tra trực quan, đo IV, EL, chùm tia laser dòng điện cảm ứng	Bê và mẫu [76]
	Algérie Đơn tinh thể Có	Hơn 12 năm	EVA chuyển sang màu nâu, tách lớp, ăn mòn thanh cái, vỡ kính, nứt pin mặt trời, mối hàn sự thoái hóa liên kết, sự thoái hóa lớp phủ chống phản xạ	Kiểm tra trực quan, đo IV	Bouraiou và cộng sự [77]
	Ấn Độ Đơn tinh thể Có	28 năm	Tách lớp, Kính vỡ, bong bóng trên tấm nền của mô-đun, chất đóng gói bị đổi màu, lư ới phía trước và lớp phủ chống phản xạ bị oxy hóa, hộp nối bị bắn, điểm nóng, nứt mối hàn trên thanh cái	Kiểm tra trực quan, Hình ảnh nhiệt, Truyền tĩnh mạch trong nhà đo lư ờng	Chandel và cộng sự [5]
	Algérie Đơn tinh thể và đa tinh thể	Chín tháng để 32 năm	Tách lớp, đổi màu chất đóng gói, ăn mòn và đổi màu kim loại hóa, nứt pin mặt trời, vỡ kính, lớp phủ chống phản xạ bị hư hỏng, ốc sên dư ờng mòn, hộp nối bị hỏng, bắn	Kiểm tra trực quan, đo IV & PV	Bouraiou và cộng sự [55]
Ấn Độ	Đa tinh thể Có	2,5 năm	Đặc điểm của ốc sên, hiện tượng nấu hóa tế bào đơn lẻ, hỏng hộp nối, điểm nóng, kết nối chuỗi yếu ruy-băng	Kiểm tra trực quan, Hình ảnh nhiệt, Truyền tĩnh mạch trong nhà đo lư ờng	Sharma và Chandel [64]

tấm pin năng lượng mặt trời khoảng 334 kWh/năm và để làm mát bằng không khí, sản lượng là 357 kWh/năm. Tổng đầu tư đạt 6300 € khi xem xét chi phí của tấm nhôm, chân đế kim loại, quạt thổi và chi phí lao động, để có được chi phí điện bình quân là 0,097 €/kWh. đánh giá kinh tế của hệ thống PV 30 kW cho thấy không khí làm mát chủ động dựa trên không phải là một lựa chọn khả thi vì khoản đầu tư cho kỹ thuật rất cao cùng với hiệu suất không đầy đủ. Làm mát bề mặt tấm pin mặt trời phía trước có với nước làm giảm nhiệt độ hoạt động của tấm pin mặt trời xuống 20-30 °C. Các tác giả cũng đã kiểm tra chất lỏng dựa trên kỹ thuật làm mát và ước tính cải thiện hiệu suất 10-15% trong làm mát chủ động dựa trên nước so với làm mát không khí (5 -10%). Nghiên cứu cho thấy hệ thống làm mát bằng nước hoạt động tốt về mặt kỹ thuật và hai hệ thống làm mát chủ động hệ thống đang bị nghi ngờ từ quan điểm kinh tế. Nghiên cứu về môi trường kết luận rằng kỹ thuật làm mát bằng không khí chịu tác động sinh thái cao nhất do sự nóng lên toàn cầu và tác dụng axit hóa.

Bai et al. [79] đã nghiên cứu hiệu suất thực tế của việc rắc và làm mát bằng chất làm lạnh cho các tấm pin quang điện được lắp đặt tại thành phố Keszthely, Hungary, nơi việc bơm nước diễn ra từ giếng sau khi lọc và làm mềm. Để giảm lãng phí nước và phun lưu lượng nước tối thiểu cần thiết cho quá trình bốc hơi trên PV các tấm pin, đầu phun nước hoạt động không liên tục và theo kiểu bốc đồng. Hai mẫu ghép t-test, ANOVA một chiều và hai chiều và SPSS 22 đã thực hiện phân tích thống kê. Nghiên cứu thực nghiệm đã tiết lộ rằng hiệu suất điện được cải thiện trung bình 12% ngay cả sau khi sử dụng trung bình 22,5 L nước mỗi ngày. Các tác giả kết luận rằng làm mát dựa trên chất làm lạnh không phải là một lựa chọn khả thi cho khí hậu điều kiện của Hungary và đề xuất rằng việc phun nước làm mát Phương pháp này được coi là tốt hơn về mặt hiệu quả năng lượng. Phương pháp rắc vớt hiệu suất 19% và 25% (kiểm soát) và 13% và 18% (làm mát bằng chất làm lạnh) vào ngày 19 tháng 6 năm 2014 và ngày 22 tháng 6 năm 2014.

Mazón-Hernandez và cộng sự [80] đã kiểm tra tác động của các kênh không khí mặt cắt ngang, vận tốc không khí và nhiệt độ tấm pin trên điện thông số của tấm pin quang điện được lắp đặt tại trường Đại học Bách khoa Cartagena ở Tây Ban Nha. Thiết lập thử nghiệm bao gồm hai mô-đun chẳng hạn như tấm A (tấm cách ly) được giữ trong điều kiện tiêu chuẩn được sử dụng làm tham chiếu và bảng B (bảng điều khiển đã sửa đổi) được giữ phía trên tấm thép với một kênh dẫn khí bên dưới bảng điều khiển. Máy dò nhiệt độ điện trở đo nhiệt độ của tấm pin và nhiệt độ của luồng không khí bên trong kênh. Các tác giả đã đánh giá sản lượng điện cho cả đối lưu tự nhiên và đối lưu cưỡng bức và cũng đề cập đến sự liên quan của khoảng cách giữa tấm pin mặt trời và mái nhà. Nghiên cứu khuyến nghị một khoảng không nổi bật hơn giữa tấm pin quang điện và mái thép để làm mát bằng điều khiển một cách hiệu quả. Trong trường hợp đối lưu tự nhiên, bảng điều khiển B là ấm hơn tấm A và tấm cách nhiệt này chịu nhiệt độ thấp hơn tấm A nhiệt độ do không gian bên dưới tấm pin. Sản lượng điện cao hơn đối với bảng B so với bảng A đối với sự đối lưu cưỡng bức do cải thiện nhiệt truyền đến luồng không khí. Nghiên cứu cũng báo cáo rằng công suất đầu ra được tăng cường 15% và nhiệt độ của tấm pin giảm 15 °C. Các tác giả kết luận rằng tấm pin quang điện làm mát bằng đối lưu cưỡng bức tốt hơn đối lưu tự nhiên cho cùng một mục đích tỉ lệ khung hình và mức độ chiếu sáng.

Các kỹ thuật làm mát thụ động thay thế các kỹ thuật chủ động liên quan đến tiết kiệm năng lượng và vì trước đây không cần nguồn điện bên ngoài hoạt động của nó. So sánh các kỹ thuật làm mát thụ động khác nhau cho PV cung cấp một phân tích chi tiết về kỹ thuật và hiệu suất các tính năng của hệ thống. Rajput và Yang [81] đã tiến hành thử nghiệm nghiên cứu về làm mát tấm pin quang điện thụ động bằng cách sử dụng bộ tản nhiệt hình trụ và so với bộ thu PV/T truyền thống. Các tác giả đã sử dụng 20 W tấm pin quang điện đa tinh thể và đèn halogen có cường độ 1378,4 Wm⁻² để tăng nhiệt độ trong nhà. Tản nhiệt vẩy tròn, có mật độ vẩy 1,22 vẩy cm² hạ nhiệt độ xuống



Hình 8. Phân loại các hệ thống sét khác nhau (được chuyển thể từ Tài liệu tham khảo [87]).

81,7 ± 2,3 °C và 88,6 °C ở mặt trước và mặt sau tương ứng. Nghiên cứu cho thấy bộ tản nhiệt làm giảm nhiệt độ xuống 58,4 °C và nhiệt độ bộ thu xuống 47,9 °C. Các phương pháp tự nhiên đã tăng cường thông lượng nhiệt (667,2 Wm⁻²) ở mặt hiên của tấm pin lên 30% khi sử dụng bộ tản nhiệt và 41,5% khi sử dụng bộ thu PV/T. Các tác giả cũng đề xuất cho công việc trong tương lai là tiến hành nghiên cứu thực nghiệm sử dụng bộ tản nhiệt để làm mát tấm pin trong điều kiện gió tù.

Abd-Elhady et al. [86] đã đề xuất một phương pháp đối lưu tự nhiên sử dụng các lỗ để ngăn ngừa quá nhiệt của các tấm pin PV do bức xạ phát ra từ Mặt trời và tiến hành các thí nghiệm và mô phỏng số tại Cairo, Ai Cập vào ngày 22 tháng 7 năm 2016 để kiểm tra ảnh hưởng của kích thước lỗ và số lượng lỗ trên các tấm pin PV. Các tác giả đã tiến hành các thí nghiệm trên hai tấm pin PV đơn tinh thể 25 W giống hệt nhau với một tấm có 9 lỗ xuyên qua và tấm còn lại không có lỗ và không có khoảng trống. Việc tiếp xúc các tấm pin PV với nhiệt độ môi trường xung quanh dẫn đến chênh lệch nhiệt độ giữa hai mô-đun khiến nhiệt độ của tấm pin không có lỗ cao hơn tấm pin có lỗ là 8 °C trong ngày. Việc so sánh các kết quả thực nghiệm với mô hình số đã hỗ trợ trong việc lựa chọn kích thước lỗ và số lượng lỗ để làm mát tấm pin. Nghiên cứu kết luận rằng các lỗ trên các tấm pin PV làm giảm nhiệt độ bề mặt và giúp làm mát các tấm pin. Việc tăng số lượng lỗ dẫn đến việc giảm nhiệt độ, trở nên không đáng kể sau một số lượng lỗ nhất định.

Các tác giả cũng khuyến nghị đường kính quan trọng của các lỗ để cho phép lớp không khí nóng đi qua các lỗ này để làm mát hiệu quả. Hasan et al. [82] đã theo dõi hiệu ứng làm mát của tấm pin PV sử dụng PCM gốc parafin trong môi trường nóng của UAE. Phương pháp thực nghiệm bao gồm việc tính toán nhiệt độ tại tấm pin mặt trời phía trước có và không có PCM. Các tác giả cũng đã phát triển một mô hình để dự đoán tỷ lệ tan chảy và đông đặc của PCM trong mỗi tháng để chỉ ra tiến trình đông đặc. Các thùng chứa PCM dư thừa dạng chất lỏng (10,2 L) được gắn vào PV và làm mát trước khi kết tinh. Mô hình đã phát triển giúp xác định sự thay đổi trong hiệu suất làm mát của PCM trong những tháng khác nhau. Nhiệt độ môi trường ẩm hơn đã đông đặc PCM vào mùa hè và nó không thể tan chảy vào mùa đông do thiếu năng lượng nhiệt. Vào tháng 4 và tháng 10, bức xạ mặt trời mạnh làm tan chảy hoàn toàn PCM và nó đông đặc vào ban đêm do nhiệt độ môi trường thấp hơn. Nghiên cứu kết luận rằng sự hiện diện của PCM làm giảm nhiệt độ PV trung bình 10,5 °C trong thời gian cao điểm, giúp tăng 5,9% công suất đầu ra của PV hàng năm.

Alami [83] đã đưa ra một phương pháp làm mát chi phí thấp sử dụng đồng phủ trong đất sét tổng hợp làm vật liệu bay hơi thụ động để thử nghiệm các tấm pin quang điện đơn tinh thể giống hệt nhau 10 W. Tấm nền đồng phủ lỗ có sẵn trên thị trường với màng lỗ 6 mm tạo ra hiệu ứng làm mát, được giữ giữa hai lớp đất sét Kera. Các tác giả đã tiến hành thử nghiệm đặc tính trên hai mô-đun quang điện giống hệt nhau được lắp đặt

bên ngoài phòng thí nghiệm truyền nhiệt của Đại học Sharjah vào buổi trưa nắng vào tuần cuối cùng của tháng 7 năm 2013. Nghiên cứu phát hiện ra rằng nhiệt độ của mô-đun PV có và không có đất sét lần lượt đạt 45 °C và 85 °C. Các tác giả kết luận rằng làm mát các mô-đun bằng đất sét làm tăng điện áp đầu ra 19,4% so với các mô-đun làm mát không có đất sét (19,1%).

Ebaid et al. [84] đã nghiên cứu thực nghiệm về việc làm mát các tấm pin quang điện đơn tinh thể 50 W bằng cách sử dụng hai chất lỏng nano với lưu lượng thể tích là 500-5000 mL/phút ở mức 0,01-0,1 wt% trong điều kiện khí hậu của Jerash-Jordan. Một bộ trao đổi nhiệt làm bằng nhôm được giữ ở bề mặt sau của tấm pin quang điện cung cấp khả năng làm mát bằng các chất lỏng nano như Al₂O₃ trong hỗn hợp nước-polyethylene glycol ở pH 5,7 và TiO₂ trong hỗn hợp nước-cetyl trimethyl ammonium bromide ở pH 9,7. Bộ tản nhiệt đảm bảo tiếp xúc tốt giữa bộ trao đổi nhiệt và bề mặt sau của pin quang điện.

Rung siêu âm phá vỡ quá trình lắng đọng của các hạt nano và việc bổ sung chất hoạt động bề mặt làm giảm sức căng bề mặt của chất lỏng. Nghiên cứu cho thấy rằng việc tăng tỷ lệ khối lượng hạt nano và tốc độ dòng chảy đã giảm thiểu nhiệt độ bề mặt của tế bào PV. Chất lỏng nano Al₂O₃ cung cấp khả năng giảm nhiệt độ bề mặt PV tốt hơn khi so sánh với chất lỏng nano TiO₂. Các tác giả cũng phát hiện ra rằng công suất và hiệu quả của tế bào PV được tăng cường theo tốc độ dòng chảy và nồng độ của các hạt nano.

6.2. Chống sét

Việc bảo vệ mô-đun PV khỏi sét là điều cần thiết và thiết yếu để tránh các lỗi và hư hỏng ở các thiết bị phụ trợ được gắn vào hệ thống. Sét gây ra hiện tượng đánh trực tiếp, quá áp và xử lý nhiễu các mô-đun PV, do đó làm giảm các đặc tính điện và làm giảm điện áp đầu ra xuống mức 0. Việc giảm hiệu suất của mô-đun PV này buộc người dùng PV phải thiết kế và lắp đặt hệ thống chống sét tại địa điểm PV dựa trên vĩ độ, lắp đặt và cách sử dụng. Ahmad et al. [87] đã minh họa cách phân loại và giải thích về các hệ thống chống sét khác nhau cho các nhà máy PV (Hình 8). Kokinos et al. [88] đã giải quyết các mối quan tâm khác nhau để định hình một cấu trúc chung cho bố trí hệ thống chống sét của các hệ thống PV. Các tác giả đã tiến hành các thí nghiệm tại phòng thí nghiệm HV của ELEMKO ở Hy Lạp và đưa ra các giải pháp khả thi để khắc phục các thách thức khác nhau có thể phát sinh tại địa điểm lắp đặt PV.

Công viên PV bao gồm 7300 tấm pin mặt trời có công suất danh định 270 W, 180 bộ biến tần DC/AC công suất 11 kW được lắp trên các đế bê tông cốt thép chôn trong đất. Các tác giả đã xem xét thiết kế ứng dụng cách ly và không cách ly cho hệ thống chống sét. Dựa trên nền tảng của khung PV, nghiên cứu đề xuất nhiều vật liệu khác nhau cho hệ thống tiếp địa được đóng xuống đất. Nghiên cứu khuyến nghị khoảng cách tối thiểu là 3 m giữa khung PV của mỗi hàng và điện cực đất. Vì việc tiến hành các thí nghiệm trong công viên PV rất khó khăn, nên các tác giả đã thực hiện phân tích thu nhỏ bằng cách sử dụng hệ thống PV 2 MW bao gồm 9 mô-đun PV nối tiếp tạo ra điện áp đầu ra 200 V và dòng điện 10 A. Các tác giả đã thử nghiệm hai trường hợp có thể xảy ra để kiểm tra điện áp cảm ứng thấp hơn mà không có bất kỳ sự chiếu sáng nào tại vòng cáp DC. Kết quả cho thấy hệ thống bảo vệ không cách ly cung cấp điện áp cảm ứng thấp hơn trong trường hợp sét đánh và được coi là một lựa chọn tiết kiệm chi phí khi so sánh với thiết kế chống sét từ xa. Do đó, các tác giả thích sử dụng hệ thống bảo vệ bằng ánh sáng không cách ly cho công viên PV.

Ittarat et al. [89] đã phát triển một chương trình máy tính để quyết định xem có cần thiết phải lắp đặt hệ thống chống sét trong PV hay không. Các tác giả đã thu thập dữ liệu từ hệ thống PV 25 kW được lắp đặt tại huyện Thayang, tỉnh Phetchaburi của Thái Lan. Đánh giá thiệt hại

M. Santhakumari và N. Sagar

từ sét bao gồm việc đánh giá tần số của Nc và tần số Nd của các hệ thống PV. Các tác giả đã sử dụng visual basic chương trình và áp dụng kỹ thuật góc bảo vệ để xác định chiều cao và số lượng cột thu lôi cần thiết để lắp đặt các cột thu lôi phía sau PV tấm pin và do đó đảm bảo các thành phần PV trong vùng bảo vệ. Chương trình tính toán giá trị của Nc và Nd là 10×10^{-6} và 9.945×10^{-3} gợi ý về sự cần thiết của hệ thống chống sét. Phương pháp góc bảo vệ đã xác nhận kết quả chương trình với chương trình vẽ 3D và xác định rằng các tấm pin PV đang ở vùng bảo vệ. Sử dụng chương trình, các tác giả khuyến nghị lắp đặt cột thu lôi có chiều cao 12 m cho năm cột, mỗi cột có phạm vi bảo vệ 58° và bán kính 19,20 m. Lắp đặt đúng cách các tấm pin PV và thiết kế chính xác hệ thống chống sét nâng cao hiệu quả của việc phát điện với ít nguy cơ sét nhất. Việc xây dựng địa điểm lắp đặt PV và thiết kế hệ thống chống sét phải được thực hiện đồng thời để cải thiện hiệu quả của hệ thống bảo vệ. Tuổi thọ của hoạt động PV được cải thiện khi bảo vệ hiệu chỉnh kỹ thuật đáp ứng yêu cầu tiêu chuẩn của lắp đặt PV.

6.3. Loại bỏ bụi

Việc tiếp xúc của các tấm pin PV với các điều kiện thời tiết khác nhau dẫn đến trong quá trình lắng đọng một lớp trên bề mặt tấm do bụi, đất, ô nhiễm khí quyển, tảo, phân chim, v.v., khó loại bỏ hơn sạch sẽ nếu để lâu không vệ sinh. Tích tụ bụi bẩn và chất bẩn trên bề mặt tấm pin PV làm giảm hiệu suất của hệ thống. Mối quan tâm này dẫn đến việc phân loại các phương pháp khác nhau để làm sạch và bụi giảm thiểu (Hình 9) để tăng hiệu quả và độ tin cậy của PV hệ thống [90].

6.3.1. Vệ sinh thủ công

Vệ sinh thủ công là cách truyền thống để khôi phục bề mặt tấm pin quang điện về trạng thái sạch hơn vì phương pháp này có thể lau sạch các vết bẩn cứng đầu như chim phân và bụi xi măng từ tấm pin mặt trời được làm sạch hiệu quả bằng nguồn nhân lực. Tuy nhiên, loại hình vệ sinh bằng lao động rất tốn kém đối với các nhà máy PV quy mô lớn. Các công cụ cần thiết để thổi bụi, nước, chất tẩy rửa, nhân công phí, an toàn và phúc lợi của người lao động, thêm chi phí phát sinh vào quá trình. Việc vệ sinh thủ công cũng gây ra thiệt hại vật lý cho tấm pin PV bề mặt như vết trầy xước và vết nứt trên tế bào, có thể tránh được bằng cách sử dụng bàn chải có lông mềm và vải lau mềm. Hư hỏng dẫn sử dụng việc vệ sinh không an toàn đối với các nhà máy điện mặt trời được lắp đặt ở độ cao lớn và đối với nhà máy điện mặt trời ngoài khơi i. Alnaser [91] đã nghiên cứu tác động của việc vệ sinh tấm pin quang điện do con người thực hiện đối với hiệu suất của Sadeem BIPV tòa nhà tại BAPCO, Awali, Vương quốc Bahrain. 36 tấm pin PV được lắp đặt trên mái nhà cần 500 L nước cất sau mỗi hai tháng để làm sạch. Tác giả đã thu thập dữ liệu PV ba ngày trước và cũng sau khi vệ sinh các tấm pin để phân tích lượng thất thoát trong năng suất điện do bụi tích tụ. Nghiên cứu cho thấy rằng việc vệ sinh do con người thực hiện hai tháng một lần đã nâng cao hiệu suất của tấm pin PV lên 6%. Tác giả cũng lưu ý rằng việc vệ sinh 160 tấm pin PV trên mái nhà các tấm pin mặt trời tại MBRSC ở Dubai, Các Tiểu vương quốc Ả Rập Thống nhất một lần một tháng cải thiện năng suất năng lượng lên 8% khi bức xạ mặt trời trung bình toàn cầu là 450 W/m².

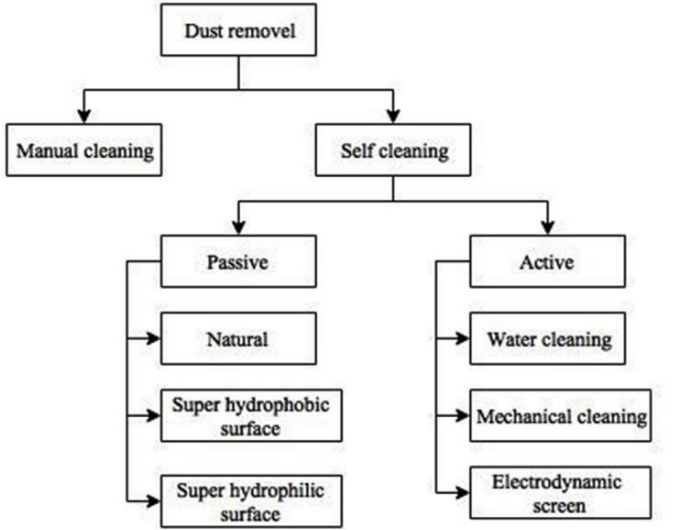
6.3.2. Làm sạch tự nhiên

Làm sạch tự nhiên bằng nước mưa phù hợp với những nơi có lượng mưa lớn và đối với các mô-đun PV được cố định ở độ nghiêng lớn hơn góc. Phương pháp này chỉ làm sạch bụi bẩn bám trên bề mặt tấm pin. Đứng sau lớp bụi bẩn bám trên các tấm pin do độ ẩm. Mặc dù cải thiện sản lượng điện từ các mô-đun PV với lượng mưa, dựa vào về lượng mưa để làm sạch không được khuyến khích vì nó chỉ xảy ra thỉnh thoảng và ít hơn ở các vùng khô hạn. Alnaser et al. [92] đã so sánh hiệu suất của tấm pin mặt trời do con người tạo ra và được làm sạch tự nhiên 2088 tại Đại học Bahrain lựa chọn tám tấm pin quang điện để vệ sinh thủ công với nước cất và một bộ khác gồm bảy tấm pin quang điện còn lại

không cần vệ sinh. Nghiên cứu phát hiện ra rằng điện mặt trời được sản xuất bởi Tấm pin mặt trời (để lại để làm sạch tự nhiên) cao hơn 5,9% so với dữ liệu dự đoán của nhà phát triển (PetraSolar) và thấp hơn 15,3% so với giá trị trong tài liệu. So sánh dữ liệu này cho thấy tấm pin mặt trời để lại để chế độ làm sạch tự nhiên tạo ra năng lượng mặt trời thấp hơn 9% so với PV các tấm được làm sạch bằng lao động. Gió cũng làm giảm sự lắng đọng bụi trên bề mặt mô-đun khi hư hỏng và tốc độ gió ảnh hưởng sâu sắc đến hiệu suất của mô-đun PV [93]. Jiang et al. [94] đã phát triển một mô hình sử dụng lý thuyết tái treo hạt để phân tích gió phương pháp làm sạch các hạt bụi từ bề mặt mô-đun PV phẳng. Các tác giả đã đánh giá tốc độ cắt tối thiểu (0,23-57,56 m/s) và tốc độ gió thực tế (0,82-2219,8 m/giây) làm bụi lơ lửng trở lại các hạt từ bề mặt mô-đun PV. Nghiên cứu cho thấy rằng nó là cần thiết để chuyển đổi hướng và tốc độ của luồng không khí thành vận tốc thực tế dọc theo đường đi của các mô-đun PV, để dự đoán việc làm sạch gió quy trình cho các mô-đun PV. Mô hình này phù hợp với các bề mặt phẳng vì mối quan hệ giữa vận tốc dòng chảy tự do và vận tốc thực tế trên mặt phẳng nghiêng là không chắc chắn. Công trình này gợi ý nghiên cứu nâng cao hơn nữa về ảnh hưởng của góc nghiêng khi vệ sinh để làm rõ tầm quan trọng của vị trí lắp đặt.

6.3.3. Bề mặt kỵ nước

Bề mặt kỵ nước loại bỏ bụi bẩn khỏi bề mặt tấm pin quang điện với hệ thống làm sạch bằng nước hoặc kết tủa tự nhiên. Lớp phủ này tăng cường khả năng hấp thụ năng lượng mặt trời của tấm pin bằng cách tăng khu vực hoạt động để bắt ánh sáng mặt trời. Lớp phủ hóa học làm tăng sự xuống cấp của các tấm pin quang điện do tiếp xúc với tia cực tím và chống chịu thời tiết lớp phủ làm giảm nguy cơ này. Fathi et al. [95] đã nghiên cứu hiệu suất của tấm phủ nano PV hiệu quả về mặt chi phí. Quy trình bề mặt sửa đổi bao gồm làm sạch bằng dung dịch mồi nanotol, sấy khô dùng khăn lau sợi nhỏ và phun dung dịch keo nanotol. Các tác giả đã tiến hành đo IV bằng cách sử dụng một thiết bị thu thập dữ liệu hệ thống để kiểm tra các thông số điện có phù hợp với các điều kiện thử nghiệm tiêu chuẩn hay không. Các mô-đun PV có và không có lớp phủ kỵ nước đã trải qua thử nghiệm kỵ nước và quang học và so sánh bụi và nước lắng đọng giọt trên các mô-đun PV. Nghiên cứu thực nghiệm đã tìm thấy một cải thiện khả năng truyền ánh sáng và điện áp mạch hở trong các tấm pin quang điện phủ nano. Nghiên cứu nhiệt giải thích rằng các hạt bụi tạo ra hiệu ứng bóng đổ trên bề mặt tấm (không tráng phủ) và tạo ra điểm nóng làm tăng nhiệt độ của tấm pin và giảm độ mở điện áp mạch. Do đó, tấm pin quang điện phủ nano với vật liệu nano tự làm sạch hoạt động tốt hơn trong điều kiện khí hậu nóng của các khu vực MENA. Đề xuất phủ nano là một phương pháp làm sạch tiết kiệm chi phí vì



Hình 9. Các phương pháp khác nhau để giảm thiểu hiện tượng soiling từ các máy quang điện (đã điều chỉnh từ Tài liệu tham khảo [90]).

M. Santhakumari và N. Sagar

chi phí công nghệ khoảng 1,89 Euro/m² /năm từ ơng dự ơng với 18.900 Euro/1 MW/năm.

6.3.4. Bề mặt ư a nư ớc Bề mặt

ư a nư ớc sử dụng lớp phủ hóa học hoặc lớp lu ớ i để loại bỏ vết bẩn, trong đó bề mặt có xu hướng hút nư ớc mạnh. Trong cơ chế tự làm sạch này, giọt nư ớc lan ra trên bề mặt, di chuyển sâu vào bên trong hạt bụi và mang nó đi. Zhong và cộng sự [96] đã thiết kế một lớp phủ siêu ư a nư ớc mới bao gồm 3-triethoxysilylpropylamine và TiO₂ (hoạt động như chất xúc tác quang) trên bề mặt của tấm pin PV. Phương pháp kéo đã tải các chất nền lên các tấm kính sau khi làm sạch các mô-đun bằng hợp chất làm sạch. SEM đã phân tích sự phân bố kích thước hạt và cấu trúc bề mặt, trong khi XRD và TEM nghiên cứu tinh thể nano TiO₂. Góc tiếp xúc nư ớc tĩnh thấp hơn 5° thể hiện tính chất ư a nư ớc vượt trội của lớp phủ hóa học. Nghiên cứu phát hiện ra rằng sản lượng điện từ các tấm pin đã xử lý cao hơn các tấm pin chưa xử lý, đạt tối đa 4,2%.

6.3.5. Vệ sinh bằng nư ớc Vệ sinh

bằng nư ớc là một phương pháp liên quan khác để loại bỏ các hạt rắn bám trên bề mặt PV. Tư ơng tự như các phương pháp vệ sinh tự nhiên, vệ sinh bằng nư ớc thiếu độ tin cậy do lượng nư ớc và điện năng cần thiết quá lớn, lo ngại về tình trạng tắc nghẽn nư ớc và sốc nhiệt trong các tấm PV và tích tụ cặn hóa học. Moharram và cộng sự [97] đã sử dụng chất hoạt động bề mặt và nư ớc để loại bỏ bụi bám trên nhà máy điện PV công suất 14 kW dự ợc lắp đặt tại Đại học Đức ở Cairo, Ai Cập. Các tác giả đã tiến hành một nghiên cứu để vệ sinh các tấm pin bằng hệ thống nư ớc không áp suất với lượng nư ớc và năng lượng ít hơn mỗi ngày trong 10 phút trong 45 ngày liên tiếp với lưu lượng 12 L/phút. Cuộc điều tra bao gồm phân tích hiệu suất của các tấm pin mà không cần vệ sinh, vệ sinh bằng nư ớc không áp suất và vệ sinh bằng nư ớc và chất hoạt động bề mặt. Nghiên cứu cho thấy hiệu suất của các tấm pin quang điện giảm 0,14%/ngày và 50% khi vệ sinh bằng nư ớc không áp suất và sau 45 ngày vệ sinh chỉ bằng nư ớc. Thí nghiệm phát hiện ra rằng việc sử dụng chất hoạt động bề mặt làm giảm lượng nư ớc cần thiết để vệ sinh và hỗn hợp chất hoạt động bề mặt anion và cation làm giảm thiểu các hạt bụi bám trên tấm pin và do đó duy trì hiệu suất của nhà máy.

6.3.6. Phương pháp cơ học

Vệ sinh tấm pin PV bao gồm nhiều hệ thống cơ học với nhiều thiết kế khác nhau tùy thuộc vào vị trí, lựa chọn và mục đích của hệ thống PV. Các phương pháp vệ sinh này bao gồm cần gạt nư ớc tự động, quạt gió, nắp có thể tháo rời, chổi và bề chứa có vòi phun dự ợc kích hoạt bằng cơ học hoặc điện dựa trên phát hiện bụi bẩn.

Shehri et al. [98] đã thiết kế một bộ thử nghiệm và nghiên cứu tác động của việc vệ sinh khô bằng chổi lên các tấm pin quang điện. Một hệ thống lắc lảng động cát liên tục lắc động bụi trên các bề mặt dự ợc chải để tạo ra một môi trường thực tế từ ơng dự ơng với 20 năm. Các công cụ vệ sinh bao gồm nylon, vải và bọt cao su silicon để chải các tấm pin mặt trời phủ lớp chống phản xạ. Nghiên cứu về hiệu ứng chải cho thấy các tấm pin mặt trời dự ợc làm sạch bằng chổi cao su silicon đã tăng công suất đầu ra trung bình 1% so với công suất đầu ra ban đầu không dự ợc chải. Phân tích SEM của mẫu PV cho thấy việc chải bằng nylon gây ra các vết xước lớn, từ đó ảnh hưởng đến bề mặt lớp phủ. So sánh định tính việc làm sạch các tấm pin bằng ba loại chổi đã xác nhận rằng các công cụ làm sạch như nylon và cao su đã làm sạch các lớp bụi ẩm khi so sánh với việc làm sạch bằng vải.

6.3.7. Màn hình điện động (EDS)

Sự phát triển của EDS sử dụng khái niệm về đặc tính tĩnh điện của bụi để giảm thiểu tác động tiêu cực của bụi bẩn lên tấm pin mặt trời. Công nghệ loại bỏ bụi này sử dụng nguồn điện áp cao để cấp điện cho các điện cực của màn hình trong suốt, từ đó giúp loại bỏ các hạt bụi tích điện và không tích điện khỏi bề mặt tấm pin PV.

Kawamoto và Guo [99] đã phát triển một hệ thống làm sạch tĩnh điện để loại bỏ bụi khỏi bề mặt tấm pin mặt trời bằng lực tĩnh điện. Nguyên mẫu bao gồm các tấm làm sạch bụi với các điện cực dây song song dự ợc nhúng trong chất nền thủy tinh borosilicate và một nguồn điện áp cao để tạo ra điện áp cao hai pha. Nghiên cứu cho thấy rằng việc vận hành hệ thống làm sạch cùng với gió tự nhiên đã cải thiện hiệu suất cho quá trình nạp bụi ban đầu. Một lớp phủ cách điện chống bụi trên tấm pin đã tăng cường khả năng làm sạch do điện áp bề mặt thấp hơn. Công trình đề xuất thử nghiệm thực địa trong thời gian dài hơn để chứng minh hiệu quả của hệ thống.

7. Kết luận và hướng đi trong tư ơng lai

Khai thác năng lượng từ năng lượng mặt trời là một ứng dụng thiết yếu trong lĩnh vực năng lượng tái tạo vì nó thân thiện với môi trường và bền vững. Bài báo này báo cáo các yếu tố môi trường cản trở các thành phần khác nhau của hệ thống quang điện. Bài báo này xem xét các điều kiện môi trường quan trọng ảnh hưởng đến hiệu suất của các hệ thống quang điện. Bài đánh giá cũng cung cấp một triển vọng toàn diện về các chế độ hỏng hóc khác nhau, các phương pháp phát hiện hỏng hóc và các kỹ thuật giảm thiểu khác nhau để giảm sự suy giảm hiệu suất. Các nhà nghiên cứu làm việc trên các mô-đun PV có thể thử nghiệm về tác động đồng thời của các thông số này đối với hiệu suất PV trong công việc R&D (nghiên cứu và phát triển) trong tư ơng lai của họ. Các mối quan hệ tư ơng hỗ dự ợc phát triển dựa trên các thí nghiệm này giúp các nhà hoạch định chính sách và các nhà đầu tư áp dụng các biện pháp phòng ngừa để vận hành đáng tin cậy.

Tóm lại, có những khuyến nghị sau đây:

- Dự báo các thông số môi trường như bụi, nhiệt độ, nhiễu động gió, độ ẩm, tuyết rơi, mưa đá và bão cát giúp các nhà đầu tư đưa ra phương án thay thế để bảo vệ các nhà máy điện mặt trời. Bảng thông số kỹ thuật của các tấm pin mặt trời, thiết bị điều hòa điện liên quan cung cấp kiến thức ư ớc tính về hiệu suất dựa trên các điều kiện xung quanh. Việc chuẩn bị cơ sở dữ liệu về các điều kiện môi trường và khí hậu như vận tốc gió, lượng mưa, độ ẩm tư ơng đối, nhiệt độ và các yếu tố khác phù hợp với địa điểm của nhà máy điện mặt trời là điều cần thiết.

- Các tấm pin phải dự ợc thử nghiệm để chịu dự ợc các yếu tố khắc nghiệt của môi trường. Các nhà sản xuất phải kiểm tra và chứng nhận khả năng phục hồi của các tấm pin mặt trời từ các điều kiện khí hậu khắc nghiệt. Việc lắp đặt chuyên nghiệp các mô-đun PV đảm bảo tuổi thọ lâu dài của toàn bộ hệ thống bằng cách vượt qua các yếu tố thời tiết bất lợi. Các công nghệ tấm pin mặt trời và các thành phần phụ trợ kèm theo của nhà máy PV phải đáp ứng đủ yêu cầu của địa điểm lắp đặt.
- Việc bảo dưỡng định kỳ các tấm pin mặt trời

bằng cách ký bảo hành sản xuất, bảo hành lắp đặt và bảo hành thiết bị năng lượng mặt trời từ bên lắp đặt là cần thiết để các hệ thống PV hoạt động trơn tru.

Việc bảo hiểm các tấm pin mặt trời hoặc hệ thống năng lượng chống lại các điều kiện khí hậu bất lợi, trộm cắp và thiệt hại từ động vật sẽ thu hút nhiều người mua hơn.

- Mô hình hóa các nhà máy điện mặt trời giúp nghiên cứu phân tích trạng thái ổn định tiêu chuẩn cùng với phân tích động phụ thuộc thời gian. Mô hình hóa này giúp các nhà điều hành dự đoán chức năng của các nhà máy điện dựa trên nguồn năng lượng tái tạo với các điều kiện khí tượng dự ợc dự báo. Mô hình hóa đóng vai trò quan trọng trong giai đoạn đầu phát triển nhà máy và hỗ trợ các nhà đầu tư đưa ra quyết định tốt hơn. Một phương pháp chính xác để thiết lập hiệu suất của nhà máy điện mặt trời cung cấp cơ sở dữ liệu đáng tin cậy để dự đoán và xác nhận sản lượng năng lượng.
- Trong tư ơng lai, cần tiến hành nghiên cứu về cách xử lý và tái chế các mô-đun điện mặt trời

bị hỏng do các yếu tố môi trường.

Chính phủ phải khuyến khích các tổ chức tham gia vào quá trình tái chế tấm pin mặt trời với các ưu đãi kinh tế.

- Hoạt động R&D mới, chuyển giao công nghệ và các phương pháp tiếp cận năng động giữa các nhà sản xuất thiết bị, nhà đầu tư, khách hàng và các tổ chức khác cùng cố nhận thức về đầu tư vào ngành năng lượng mặt trời.

Những tiến bộ hơn nữa trong công nghệ giúp tăng hiệu quả và giảm quá trình phân hủy của tấm pin mặt trời là các lĩnh vực nghiên cứu trong tương lai để tăng sản lượng năng lượng từ hệ thống PV.

Sự thừa nhận

Các tác giả xin cảm ơn Giám đốc CSIR-NGRI (Tiến sĩ VM Tiwari) đã cho phép xuất bản bài báo đánh giá này (Res.Pub/2016/ PME). Các tác giả xin cảm ơn Tiến sĩ EVSSK Babu vì sự động viên và hỗ trợ của ông, đồng thời cũng cảm ơn ông vì đã cung cấp các phương tiện cần thiết để hoàn thành bản thảo từ các dự án của tổ chức: MLP-6406-28 (EVb) và Geomet (MLP-0002-FBR-2 (EVSSKB)). Các tác giả xin trân trọng và cảm ơn biên tập viên và các nhà đánh giá ẩn danh vì những bình luận và đề xuất mang tính xây dựng đã cải thiện đáng kể chất lượng của bài báo đánh giá này.

Tài liệu tham khảo

[1] Liu L qun, Wang Z xin, Zhang H qiang, Xue Y cheng. Phát triển năng lượng mặt trời ở Trung Quốc - Một đánh giá. *Renew Sustain Energy Rev* 2010;14:301-11. <https://doi.org/10.1016/j.rser.2009.08.005>.

[2] Tian H, Mancilla-David F, Ellis K, Muljadi E, Jenkins P. Mô hình chi tiết từ cell đến module đến mảng cho tấm pin quang điện. *Sol Energy* 2012;86:2695-706. <https://doi.org/10.1016/j.solener.2012.06.004>.

[3] Manju S, Sagar N. Tiến tới phát triển năng lượng bền vững: Đánh giá quan trọng về tình trạng hiện tại, ứng dụng, rào cản phát triển và triển vọng của các hệ thống quang điện mặt trời ở Ấn Độ. *Renew Sustain Energy Rev* 2017;70:298-313. <https://doi.org/10.1016/j.rser.2016.11.226>.

[4] Chandel SS, Nagaraju Naik M, Chandel R. Đánh giá về nước quang điện mặt trời công nghệ hệ thống bơm phục vụ tưới tiêu và cung cấp nước uống cho cộng đồng. Tái tạo và duy trì năng lượng *Renew* 2015;49:1084-99. <https://doi.org/10.1016/j.rser.2015.04.083>.

[5] Chandel SS, Nagaraju Naik M, Shazma V, Chandel R. Phân tích sự suy thoái của 28 năm mô-đun quang điện mono-c-Si lõ ra của hệ thống bơm nước năng lượng mặt trời ghép trực tiếp ở vùng phía tây dãy Himalaya của Ấn Độ. *Renew Energy* 2015;78:193-202. <https://doi.org/10.1016/j.renene.2015.01.015>.

[6] Oliveira MCC de, Diniz Cardoso ASA, Viana MM, Lins V de FC. Nguyên nhân và tác động của sự phân hủy của copolymer ethylene vinyl acetate (EVA) đóng gói trong các mô-đun quang điện silicon tinh thể: Một bản đánh giá. *Renew Sustain Energy Rev* 2018;81:2299-317. <https://doi.org/10.1016/j.rser.2017.06.039>.

[7] Rydh CJ, Sandén BA. Phân tích năng lượng của pin trong hệ thống quang điện. Phần I: hiệu suất và yêu cầu năng lượng. *Energy Convers Manag* 2005;46:1957-79. <https://doi.org/10.1016/j.enconman.2004.10.003>.

[8] Jaguemont J, Boulon L, Dubé Y. Đánh giá toàn diện về pin lithium-ion được sử dụng trong xe hybrid và xe điện ở nhiệt độ lạnh. *Appl Energy* 2016;164:99-114. <https://doi.org/10.1016/j.apenergy.2015.11.034>.

[9] Mani M, Pillai R. Tác động của bụi đến hiệu suất quang điện mặt trời (PV): tình hình nghiên cứu, thách thức và khuyến nghị. *Renew Sustain Energy Rev* 2010;14:3124-31. <https://doi.org/10.1016/j.rser.2010.07.065>.

[10] Mekhilef S, Saidur R, Kamalisarvestani M. Ảnh hưởng của bụi, độ ẩm và tốc độ không khí đến hiệu suất của các tế bào quang điện. *Renew Sustain Energy Rev* 2012;16:2920-5. <https://doi.org/10.1016/j.rser.2012.02.012>.

[11] Keiichi Morita F, Sakai T. Bảng sáng chế Hoa Kỳ (19) 54, 1973.

[12] Krueger BJ, Grassian VH, Cowin JP, Laskin A. Hóa học không đồng nhất của ion- các hạt bụi khoáng riêng lẻ từ các vùng nguồn bụi khác nhau: tầm quan trọng của khoáng vật học hạt. *Atmos Environ* 2004;38:6253-61. <https://doi.org/10.1016/j.atmosenv.2004.07.010>.

[13] Beattie NS, Moir RS, Chacko C, Buffoni G, Roberts SH, Pearsall NM. Hiệu được tác động của sự tích tụ cát và bụi lên các mô-đun quang điện. *Renew Energy* 2012;48:448-52. <https://doi.org/10.1016/j.renene.2012.06.007>.

[14] Elminir HK, Ghitass AE, Hamid RH, El-Hussainy F, Beheazy MM, Abdel-Moneim KM. Ảnh hưởng của bụi lên lớp phủ trong suốt của bộ thu năng lượng mặt trời. *Energy Convers Manag* 2006;47:3192-203. <https://doi.org/10.1016/j.enconman.2006.02.014>.

[15] Adinoyi MJ, Said SAM. Ảnh hưởng của sự tích tụ bụi đến công suất đầu ra của các mô-đun quang điện mặt trời. *Renew Energy* 2013;60:633-6. <https://doi.org/10.1016/j.renene.2013.06.014> Ghi chú kỹ thuật.

[16] Figgis B, Martinez Plaza DMT. Biến động tỷ lệ bám bẩn PV trong thời gian dài. 2014. <https://doi.org/10.13140/RG.2.2.28006.11846>.

[17] Said SAM, Walwil HM. Nghiên cứu cơ bản về tác động của bụi bẩn lên hiệu suất mô-đun PV. *Sol Energy* 2014;107:328-37. <https://doi.org/10.1016/j.solener.2014.05.048>.

[18] Saidan M, Alabaali AG, Alasis E, Kaldellis JK. Nghiên cứu thực nghiệm về tác động của lắng đọng bụi trên các tấm pin quang điện mặt trời trong môi trường sa mạc. *Renew Energy* 2016;92:499-505. <https://doi.org/10.1016/j.renene.2016.02.031>.

[19] Guan Y, Zhang H, Xiao B, Zhou Z, Yan X. Nghiên cứu tại chỗ về tác động của lắng đọng bụi đến hiệu suất của các mô-đun quang điện silicon đa tinh thể. *Năng lượng tái tạo* 2017;101:1273-84. <https://doi.org/10.1016/j.renene.2016.10.009>.

[20] Paudyal BR, Shakya SR. Tác động của sự tích tụ bụi đến hiệu quả của các mô-đun quang điện mặt trời dùng cho mục đích ngoài lưới điện: Nghiên cứu trường hợp hợp của Kathmandu. *Sol Energy* 2016;135:103-10.

<https://doi.org/10.1016/j.solener.2016.05.046>.

[21] Ramli MAM, Prasetyono E, Wicaksana RW, Windarko NA, Sedraoui K, Al-Turki YA. Về việc điều tra sự suy giảm công suất đầu ra của quang điện do tích tụ bụi và điều kiện thời tiết. *Năng lượng tái tạo* 2016;99:836-44. <https://doi.org/10.1016/j.renene.2016.07.063>.

[22] Gholami A, Saboonchi A, Alemrajabi AA. Nghiên cứu thực nghiệm về các yếu tố ảnh hưởng đến sự tích tụ bụi và tác động của chúng đến hệ số truyền của kính cho các ứng dụng năng lượng mặt trời. *Năng lượng tái tạo* 2017;112:466-73. <https://doi.org/10.1016/j.renene.2017.05.050>.

[23] Asl-Soleimani E, Farhang S, Zabihi MS. Ảnh hưởng của góc nghiêng, ô nhiễm không khí đến hiệu suất của hệ thống quang điện ở Tehran. *Năng lượng tái tạo* 2001;24:459-68. [https://doi.org/10.1016/S0960-1481\(01\)00029-5](https://doi.org/10.1016/S0960-1481(01)00029-5).

[24] El-Shobokshy MS, Hussein FM. Ảnh hưởng của bụi có các tính chất vật lý khác nhau đến hiệu suất của pin quang điện. *Sol Energy* 1993;51:505-11. [https://doi.org/10.1016/0038-092X\(93\)90135-8](https://doi.org/10.1016/0038-092X(93)90135-8).

[25] Abderrezek M, Fathi M. Nghiên cứu thực nghiệm về tác động của bụi lên năng suất của tấm pin quang điện. *Sol Energy* 2017;142:308-20. <https://doi.org/10.1016/j.solener.2016.12.040>.

[26] Rahman MM, Hasanuzzaman M, Rahim NA. Tác động của các thông số khác nhau đến công suất và hiệu suất của mô-đun PV. *Energy Convers Manag* 2015;103:348-58. <https://doi.org/10.1016/j.enconman.2015.06.067>.

[27] Touati FA, Al-Hitmi MA, Bouchech HJ. Nghiên cứu về tác động của bụi, độ ẩm tương đối và nhiệt độ lên hiệu suất PV mặt trời ở Doha: so sánh giữa PV đơn tinh thể và PV đa tinh thể. *Int J Green Energy* 2013;10:680-9. <https://doi.org/10.1080/15435075.2012.692134>.

[28] Rahman MM, Hasanuzzaman M, Rahim NA. Tác động của điều kiện vận hành đến hiệu quả năng lượng của các mô-đun quang điện hoạt động tại Malaysia. *J Clean Prod* 2017;143:912-24. <https://doi.org/10.1016/j.jclepro.2016.12.029>.

[29] Gagliola AG, Lykoudis S, Argiriou AA, Balas CA, Dyalnas E. Hiệu suất năng lượng của tấm pin PV trong điều kiện ngoài trời thực tế- Đánh giá thử nghiệm tại Athens, Hy Lạp. *Renew Energy* 2017;101:236-43. <https://doi.org/10.1016/j.renene.2016.08.051>.

[30] Elibol E, Özmen ÖT, Turtkun N, Köysal O. Phân tích hiệu suất ngoài trời của các loại tấm pin PV khác nhau. *Renew Sustain Energy Rev* 2017;67:651-61. <https://doi.org/10.1016/j.rser.2016.09.051>.

[31] Zondag HA. Bộ thu nhiệt và hệ thống PV-nhiệt phẳng: Một bản đánh giá. *Renew Sustain Energy Rev* 2008;12:891-959. <https://doi.org/10.1016/j.rser.2005.12.012>.

[32] Evans DL. Phương pháp đơn giản hóa để dự đoán sản lượng năng lượng mặt trời. *Sol Energy* 1981;27:555-60. [https://doi.org/10.1016/0038-092X\(81\)90051-7](https://doi.org/10.1016/0038-092X(81)90051-7).

[33] Stultz JW. Các thử nghiệm nhiệt và các thử nghiệm khác của mô-đun quang điện được thực hiện dưới ánh sáng mặt trời tự nhiên. *J Energy* 1979;3:363-72. <https://doi.org/10.2514/3.62445>.

[34] Kuznik J, Jankovec M, Brecl K, Topic M. Kiểm tra ngoài trời về nhiệt độ và hiệu suất của mô-đun PV trong các điều kiện lắp đặt và vận hành khác nhau. *Sol Energy Mater Sol Cells* 2011;95:373-6. <https://doi.org/10.1016/j.solmat.2010.04.022>.

[35] Gökmen N, Hu W, Hou P, Chen Z, Sera D, Spataru S. Nghiên cứu tác động làm mát của tốc độ gió lên các tấm pin quang điện ở những nơi ít có gió. *Renew Energy* 2016;90:283-90. <https://doi.org/10.1016/j.renene.2016.01.017>.

[36] Goverde H, Goossens D, Govaerts J, Cathoor F, Baert K, Poortmans J, et al. Phân tích không gian và thời gian của tác động gió lên các mô-đun PV: Hậu quả đối với việc đánh giá công suất điện. *Sol Energy* 2017;147:292-9. <https://doi.org/10.1016/j.solener.2016.12.002>.

[37] Said SAM, Al-Aqeeli N, Walwil HM. Tiềm năng sử dụng kết cấu và chống tái tạo kính tráng phản quang trong việc giảm thiểu bụi bám. *Sol Energy* 2015;113:295-302. <https://doi.org/10.1016/j.solener.2015.01.007>.

[38] Kaldellis JK, Kapsali M, Kavadias KA. Nhiệt độ và tốc độ gió tác động đến hiệu quả của các lắp đặt PV. *Kinh nghiệm thực địa từ các phép đo ngoài trời ở Hy Lạp. Renew Energy* 2014;66:612-24. <https://doi.org/10.1016/j.renene.2013.12.041>.

[39] Rouholamini A, Pourgharibshahi H, Fadaeinedjad R, Abdolzadeh M. Nhiệt độ của mô-đun quang điện dưới ảnh hưởng của các điều kiện môi trường khác nhau - nghiên cứu thực nghiệm. *Int J Ambient Energy* 2016;37:266-72. <https://doi.org/10.1080/01430750.2014.952842>.

[40] Tan CM, Chen BKE, Toh KP. Nghiên cứu độ ẩm của tế bào PV a-Si. *Microelectron Reliab* 2010;50:1871-4. <https://doi.org/10.1016/j.microrel.2010.07.021>.

[41] Gwandu BAL, Creasey DJ. Độ ẩm: Một yếu tố trong việc định vị thích hợp của một nhà máy điện quang điện. *Năng lượng tái tạo* 1995;6:313-6. [https://doi.org/10.1016/0960-1481\(95\)00073-5](https://doi.org/10.1016/0960-1481(95)00073-5).

[42] Kazem HA, Chaichan MT. Ảnh hưởng của độ ẩm đến hiệu suất quang điện dựa trên nghiên cứu thực nghiệm. *Int J Appl Eng Res* 2015;10:43572-7.

[43] Kawano K, Pacios R, Poplavskyy D, Nelson J, Bradley DDC, Durrant JR. Sự suy thoái của các tế bào quang điện hữu cơ do tiếp xúc với không khí. *Sol Energy Mater Sol Cells* 2006;90:3520-30. <https://doi.org/10.1016/j.solmat.2006.06.041>.

[44] Marion B, Schaefer R, Caine H, Sanchez G. Do lường và mô hình hóa quang điện tổn thất năng lượng hệ thống từ tuyết cho các địa điểm ở Colorado và Wisconsin. *Sol Energy* 2013;97:112-21. <https://doi.org/10.1016/j.solener.2013.07.029>.

[45] Powers L, Newmiller J, Townsend T. Đo lường và mô hình hóa tác động của tuyết lên hiệu suất của hệ thống quang điện. *Conf Rec IEEE Photovolt Spec Conf* 2010. <https://doi.org/10.1109/PVSC.2010.5614572>. 973-8.

[46] Meyta RV, Savrasov FV. Nghiên cứu ảnh hưởng của lớp tuyết phủ đến quá trình phát điện dự cung cấp bởi các mô-đun quang điện. *IOP Conf Ser Mater Sci Eng* 2015;81:6-11. <https://doi.org/10.1088/1757-899X/81/1/012110>.

[47] Andrews RW, Pollard A, Pearce JM. Tác động của tuyết rơi đến hiệu suất quang điện mặt trời. *Sol Energy* 2013;92:84-97. <https://doi.org/10.1016/j.solener.2013.02.014>.

[48] Heidari N, Gwamuri J, Townsend T, Pearce JM. Tác động của tuyết và nhiễu mặt đất lên hiệu suất hệ thống điện quang điện. *IEEE J Photovoltaics*

2015;5:1680-5. <https://doi.org/10.1109/JPHOTOV.2015.2466448>.

[49] Meyer EL, Ernest van Dyk E. Đánh giá độ tin cậy và sự suy giảm của các thông số hiệu suất mô-đun quang điện. IEEE Trans Reliab 2004;53:83-92.

[50] Bandou F, Hadj Arab A, Belkaid MS. Kiểm tra hiệu suất điện của mô-đun quang điện trong hai môi trường khác nhau. Energy Procedia 2013;36:1018-24. <https://doi.org/10.1016/j.egypro.2013.07.116>.

[51] Forzan SE. Hiệu suất của các mô-đun quang điện mặt đất thử nghiệm. IEEE Trans Reliab 1982;31:235-45. <https://doi.org/10.1109/TR.1982.5221326>.

[52] Muehleisen W, Eder GC, Voronko Y, Spielberger M, Sonnleitner H, Knoebel K, et al. Phát hiện và hình ảnh thiệt hại do mưa đá gây ra cho các nhà máy quang điện ở ngoài trời. Năng lượng tái tạo 2018;118:138-45. <https://doi.org/10.1016/j.renene.2017.11.010>.

[53] Mostefaoui M, Ziane A, Bouraiou A, Khelifi S. Ảnh hưởng của sự tích tụ bụi cát đến hiệu suất quang điện trong môi trường Sahara: miền nam Algeria (Adrar). Báo cáo khoa học về ô nhiễm môi trường năm 2018. <https://doi.org/10.1007/s11356-018-3496-7>.

[54] Bouraiou A, Hamouda M, Chaker A, Mostefaoui M, Lachtar S, Sadok M, và cộng sự. Phân tích và đánh giá tác động của điều kiện khí hậu đến hiệu suất của các mô-đun quang điện trong môi trường sa mạc. Energy Convers Manag 2015;106:1345-55. <https://doi.org/10.1016/j.enconman.2015.10.073>.

[55] Bouraiou A, Hamouda M, Chaker A, Neçaibia A, Mostefaoui M, Boutasseta N, và cộng sự. Nghiên cứu thực nghiệm về các khuyết tật quan sát được trong các mô-đun PV silicon tinh thể trong điều kiện khí hậu khô nóng ngoài trời ở Algeria. Sol Energy 2018;159:475-87. <https://doi.org/10.1016/j.solener.2017.11.018>.

[56] El-Nashar AM. Ảnh hưởng của lắng đọng bụi đến hiệu suất của một nhà máy khử muối năng lượng mặt trời hoạt động ở vùng sa mạc khô cằn. Sol Energy 2003;75:421-31. <https://doi.org/10.1016/j.solener.2003.08.032>.

[57] Dabou R, Bouchafaa F, Arab AH, Bouraiou A, Draou MD, Neçaibia A, et al. Giám sát và phân tích hiệu suất của quang điện kết nối lưới điện trong điều kiện khí hậu khác nhau ở miền nam Algeria. Energy Convers Manag 2016;130:200-6. <https://doi.org/10.1016/j.enconman.2016.10.058>.

[58] Semaoui S, Arab AH, Seddik B, Kouadri A. Đại hội quốc tế lần thứ 2 về hiệu quả năng lượng và vật liệu liên quan đến năng lượng (ENEPM2014). 2015. <https://doi.org/10.1007/978-3-319-16901-9>.

[59] Cabrera E, Schneider A, Wefringhaus E, Rabanal J, Ferrada P, Thaller D, et al. Những tiến bộ trong quá trình phát triển "AtaMo": Mô-đun năng lượng mặt trời dự trữ điều chỉnh cho phù hợp với điều kiện khí hậu của sa mạc Atacama ở Chile - tác động của bụi bẩn và mài mòn. Triển lãm năng lượng mặt trời quang điện châu Âu lần thứ 32 năm 2016:1573-8. <https://doi.org/10.4229/EUPVSEC20162016-580.11.5>.

[60] Kaplani E. Phát hiện các tác động suy thoái trong các tế bào năng lượng mặt trời c-Si lão hóa thực địa thông qua nhiệt ảnh IR và xử lý hình ảnh kỹ thuật số. Int J Photoenergy 2012;2012. <https://doi.org/10.1155/2012/396792>.

[61] ISE D, Keviczky T. Báo cáo thử nghiệm. Viện Fraunhofer về Hệ thống năng lượng mặt trời TRONG KHÍ: 2016.

[62] Chattopadhyay S, Dubey R, Kuthanazhi V, John JJ, Solanki CS, Kottantharayil A, et al. Sự suy thoái thị giác trong các mô-đun PV silicon tinh thể tuổi thọ thực tế ở Ấn Độ và mối tương quan với. Sự suy thoái điện 2014;4:1470-6.

[63] Ndiaye A, Charki A, Kobi A, Kébé CMF, Ndiaye PA, Sambou V. Sự suy thoái của các mô-đun quang điện silicon: Tổng quan tài liệu. Sol Energy 2013;96:140-51. <https://doi.org/10.1016/j.solener.2013.07.005>.

[64] Sharma V, Chandel SS. Một nghiên cứu mới về xác định sự suy thoái trong giai đoạn đầu của các mô-đun quang điện silicon dựa trên thể tích quan sát thấy trong điều kiện khí hậu phía tây dãy Himalaya của Ấn Độ. Sol Energy 2016;134:32-44. <https://doi.org/10.1016/j.solener.2016.04.023>.

[65] Kim N, Hwang KJ, Kim D, Lee JH, Jeong S, Jeong DH. Phân tích và tái tạo các vết ô nhiễm trên các đường lưới điện trong các mô-đun quang điện silicon tinh thể. Sol Energy 2016;124:153-62. <https://doi.org/10.1016/j.solener.2015.11.040>.

[66] Dhimish M, Holmes V, Mehrdadi B, Dales M, Mather P. Công suất đầu ra PV cải thiện bằng cách sử dụng hai kỹ thuật giảm thiểu cho các điểm nóng và các tế bào năng lượng mặt trời bị che bóng một phần. Electr Power Syst Res 2018;158:15-25. <https://doi.org/10.1016/j.epsr.2018.01.002>.

[67] Wohlgenuth JH, Hacke P, Bosco N, Miller DC, Kempe MD, Kurtz SR. Đánh giá nguyên nhân gây ra hiện tượng tách lớp chất đóng gói trong các mô-đun PV. IEEE 44th Photovolt Spec Conf PVSC 2017 2018 2017:1-6. <https://doi.org/10.1109/PVSC.2017.8366601>.

[68] Tsanakas JA, Ha L, Buezhop C. Lỗi và chẩn đoán nhiệt hồng ngoại trong vận hành mô-đun quang điện c-Si: Tổng quan về nghiên cứu và những thách thức trong tương lai. Tái tạo và duy trì năng lượng Rev 2016;62:695-709. <https://doi.org/10.1016/j.rser.2016.04.079>.

[69] Köntges M, Kajari-Schröder IK S. CÁC VẾT NỨT TẾ BÀO ĐƯỢC ĐO BẰNG TIA UV HUYỆT QUANG TRONG LĨNH VỰC. Hội nghị Năng lượng Mặt trời lần thứ 27 của Eur. Photovolt. Triển lãm 2012:3033-40.

[70] Munoz MA, Alonso-García MC, Vela N, Chenlo F. Sự suy thoái sớm của các mô-đun PV silicon và các điều kiện bảo hành. Sol Energy 2011;85:2264-74. <https://doi.org/10.1016/j.solener.2011.06.011>.

[71] Rajput P, Tiwari GN, Sastry OS, Bora B, Sharma V. Sự suy thoái của các mô-đun quang điện đơn tinh thể sau 22 năm tiếp xúc ngoài trời trong khí hậu hỗn hợp của Ấn Độ. Sol Energy 2016;135:786-95. <https://doi.org/10.1016/j.solener.2016.06.047>.

[72] Sinha A, Sastry OS, Gupta R. Đặc tính không phù hợp của hiệu ứng mất màu của chất đóng gói trong các mô-đun PV silicon tinh thể. Sol Energy Mater Sol Cells 2016;155:234-42. <https://doi.org/10.1016/j.solmat.2016.06.019>.

[73] Islam MA, Hasanuzzaman M, Rahim NA. Điều tra tiềm năng gây ra sự xuống cấp của các mô-đun PV đa tinh thể cũ tại chỗ đang hoạt động ở Malaysia. Meas J Int Meas Confed 2018;119:283-94. <https://doi.org/10.1016/j.measurement.2018.01.061>.

[74] Kahoul N, Chenni R, Cheghib H, Mekhilef S. Đánh giá độ tin cậy của các mô-đun quang điện silicon tinh thể trong môi trường khắc nghiệt. Năng lượng tái tạo 2017;109:66-72. <https://doi.org/10.1016/j.renene.2017.02.078>.

[75] Bouaichi A, Merrouni AA, El Hassani A, Naimi Z, Ikken B, Ghennioui A, và cộng sự. Đánh giá thực nghiệm về tác động đối màu lên hiệu suất giảm của mô-đun PV. Energy Procedia 2017;119:818-27. <https://doi.org/10.1016/j.egypro.2017.07.107>.

[76] Pozza A, Mầu T. Sự suy thoái của mô-đun PV silicon tinh thể sau 20 năm hoạt động ngoài thực địa phổ biến được nghiên cứu bằng các thử nghiệm điện, phát quang điện và LBIC. Prog Photovoltaics Res Appl 2016;24:368-78. <https://doi.org/10.1002/pip>.

[77] Bouraiou A, Hamouda M, Chaker A, Lachtar S, Neçaibia A, Boutasseta N, và cộng sự. Đánh giá thực nghiệm về hiệu suất và sự suy thoái của các mô-đun quang điện silicon đơn tinh thể trong môi trường Sahara. Năng lượng 2017;132:22-30. <https://doi.org/10.1016/j.energy.2017.05.056>.

[78] Kalogirou SA, Tripanagnostopoulos Y. Hệ thống năng lượng mặt trời lai PV/T để sản xuất nước nóng và điện trong nước. Energy Convers Manag 2006;47:3368-82. <https://doi.org/10.1016/j.enconman.2006.01.012>.

[79] Bai A, Popp J, Balogh P, Gabnai Z, Pályi B, Farkas I, et al. Hiệu ứng kỹ thuật và kinh tế của việc làm mát các mô-đun quang điện đơn tinh thể trong điều kiện của Hungary. Renew Sustain Energy Rev 2016;60:1086-99. <https://doi.org/10.1016/j.rser.2016.02.003>.

[80] Mazón-Hernández R, García-Cascales JR, Vera-García F, Kaiser AS, Zamora B. Cải thiện các thông số điện của tấm pin quang điện bằng luồng khí cảm ứng hoặc ứ đọng bức. Int J Photoenergy 2013;2013. <https://doi.org/10.1155/2013/838968>.

[81] Rajput UJ, Yang J. So sánh bộ tản nhiệt và bộ thu nhiệt PV/T loại nước để làm mát tấm pin quang điện đa tinh thể. Renew Energy 2018;116:479-91. <https://doi.org/10.1016/j.renene.2017.09.090>.

[82] Hasan A, Sarwar J, Alnoman H, Abdelbaqi S. Hiệu suất năng lượng hàng năm của một Hệ thống vật liệu thay đổi pha quang điện (PV-PCM) trong khí hậu nóng. Sol Energy 2017;146:417-29. <https://doi.org/10.1016/j.solener.2017.01.070>.

[83] Alami AH. Tác động của làm mát bay hơi đến hiệu quả của các mô-đun quang điện. Năng lượng Convers Manag 2014;77:668-79. <https://doi.org/10.1016/j.enconman.2013.10.019>.

[84] Ebaid MSY, Ghrair AM, Al-Busoul M. Nghiên cứu thực nghiệm về hiệu ứng làm mát Tấm pin quang điện (PV) sử dụng nanofluid (TiO2) trong hỗn hợp nước - polyethylene glycol và nanofluid (Al2O3) trong hỗn hợp nước - cetyltrimethylammonium bromide. Năng lượng Convers Manag 2018;155:324-43. <https://doi.org/10.1016/j.enconman.2017.10.074>.

[85] Nizetić S, Giamia E, Papadopoulos AM. Phân tích toàn diện và sinh thái chung đánh giá kinh tế-môi trường về các kỹ thuật làm mát cho tấm pin quang điện, Phần II: Các kỹ thuật làm mát chủ động. Energy Convers Manag 2018;155:301-23. <https://doi.org/10.1016/j.enconman.2017.10.071>.

[86] Abd-Elhady MS, Serag Z, Kandil HA. Một giải pháp sáng tạo cho tình trạng quá nhiệt vấn đề của các tấm pin quang điện. Energy Convers Manag 2018;157:452-9. <https://doi.org/10.1016/j.enconman.2017.12.017>.

[87] Ahmad NI, Ab-Kadir MZA, Izadi M, Azis N, Radzi MAM, Zaini NH, et al. Bảo vệ chống sét trên hệ thống quang điện: Tổng quan về các biện pháp thực hành hiện tại và dự đoán khuyến nghị. Renew Sustain Energy Rev 2018;82:1611-9. <https://doi.org/10.1016/j.rser.2017.07.008>.

[88] Kokkinos N, Christofides N, Charalambous C. Thực hành bảo vệ chống sét cho lắp đặt hệ thống quang điện mở rộng. Hội nghị quốc tế lần thứ 31 về bảo vệ ánh sáng ICLP năm 2012. <https://doi.org/10.1109/ICLP.2012.6344383>.

[89] Ittarat S, Hirarnvarodom S, Plangklang B. Một chương trình máy tính để đánh giá rủi ro tác động của sét và để thiết kế lắp đặt bảo vệ cột thu lôi cho hệ thống quang điện. Energy Procedia 2013;34:318-25. <https://doi.org/10.1016/j.egypro.2013.06.760>.

[90] Jamil WJ, Abdul Rahman H, Shaari S, Salam Z. Sự suy giảm hiệu suất của hệ thống điện quang điện: Đánh giá về các phương pháp giảm thiểu. Renew Sustain Energy Rev 2017;67:876-91. <https://doi.org/10.1016/j.rser.2016.09.072>.

[91] Alnaser NW. BIPV thông minh 8,64 kW đầu tiên trong một tòa nhà ở thị trấn Awali tại vự đ nước Bahrain. Renew Sustain Energy Rev 2018;82:205-14. <https://doi.org/10.1016/j.rser.2017.09.041>.

[92] Alnaser NW, Al Othman MJ, Dakheil AA, Batareseh I, Lee JK, Najmali S, et al. So sánh hiệu suất giữa tấm pin quang điện nhân tạo và tấm pin quang điện tự nhiên ở giữa sa mạc. Renew Sustain Energy Rev 2018;82:1048-55. <https://doi.org/10.1016/j.rser.2017.09.058>.

[93] Hee JY, Kumar LV, Danner AJ, Yang H, Bhatia CS. Ảnh hưởng của bụi đến khả năng truyền dẫn và tính chất tự làm sạch của tấm pin mặt trời. Energy Procedia 2012;15:421-7. <https://doi.org/10.1016/j.egypro.2012.02.051>.

[94] Jiang Y, Lu L, Ferro AR, Ahmadi G. Phân tích quá trình làm sạch gió trên bụi tích tụ trên các mô-đun quang điện mặt trời (PV) trên bề mặt phẳng. Sol Energy 2018;159:1031-6. <https://doi.org/10.1016/j.solener.2017.08.083>.

[95] Fathi M, Abderrezek M, Friedrich M. Giảm tác động của bụi lên tấm pin quang điện bằng lớp phủ kỵ nước. Chính sách Môi trường Công nghệ Sạch 2017;19:577-85. <https://doi.org/10.1007/s10098-016-1233-9>.

[96] Hong Z, Yang H, Yuanhao W, Hongxing Y. Chất kết hợp TiO2/Silane gồm hai lớp cấu trúc: Một lớp phủ tự làm sạch siêu ưa nước có độ ổn định mới được ứng dụng trong các tấm pin quang điện. Energy Procedia 2017;105:1877-83. <https://doi.org/10.1016/j.egypro.2017.03.464>.

[97] Moharram KA, Abd-Elhady MS, Kandil HA, El-Sherif H. Ảnh hưởng của việc vệ sinh bằng nước và chất hoạt động bề mặt đến hiệu suất của tấm pin quang điện. Energy Convers Manag 2013;68:266-72. <https://doi.org/10.1016/j.enconman.2013.01.022>.

[98] Al Shehri A, Parrott B, Carrasco P, Al Saiari H, Taie I. Bộ thử nghiệm tăng tốc cho nghiên cứu đặc tính hao mòn, quang học và điện của tấm pin mặt trời PV được làm sạch khô. Sol Energy 2017;146:8-19. <https://doi.org/10.1016/j.solener.2017.02.014>.

[99] Kawamoto H, Guo B. Cải tiến hệ thống làm sạch tĩnh điện để loại bỏ bụi khỏi tấm pin mặt trời. J Electrostat 2018;91:28-33. <https://doi.org/10.1016/j.elstat.2017.12.002>.